

UNIVERSIDADE FEDERAL DO RIO DE JANEIRO  
INSTITUTO DE MATEMÁTICA  
INSTITUTO TERCIO PACITTI DE APLICAÇÕES E PESQUISAS  
COMPUTACIONAIS  
PROGRAMA DE PÓS-GRADUAÇÃO EM INFORMÁTICA

RODRIGO LOPES RANGEL MADUREIRA

**ALGORITMOS DE INTERSEÇÕES  
DE CURVAS DE BÉZIER COM UMA  
APLICAÇÃO À LOCALIZAÇÃO DE  
RAÍZES DE EQUAÇÕES**

Rio de Janeiro  
2013

UNIVERSIDADE FEDERAL DO RIO DE JANEIRO  
INSTITUTO DE MATEMÁTICA  
INSTITUTO TÉRCIO PACITTI DE APLICAÇÕES E PESQUISAS  
COMPUTACIONAIS  
PROGRAMA DE PÓS-GRADUAÇÃO EM INFORMÁTICA

RODRIGO LOPES RANGEL MADUREIRA

**ALGORITMOS DE INTERSEÇÕES  
DE CURVAS DE BÉZIER COM UMA  
APLICAÇÃO À LOCALIZAÇÃO DE  
RAÍZES DE EQUAÇÕES**

Dissertação de Mestrado submetida ao Corpo Docente do Departamento de Ciência da Computação do Instituto de Matemática, e Instituto Tércio Pacitti de Aplicações e Pesquisas Computacionais da Universidade Federal do Rio de Janeiro, como parte dos requisitos necessários para obtenção do título de Mestre em Informática.

Orientador: Mauro Antônio Rincon

Co-orientador: Luis Menasché Schechter

Rio de Janeiro  
2013

M183 Madureira, Rodrigo Lopes Rangel

Algoritmos de interseções de curvas de Bézier com uma aplicação à localização de raízes de equações / Rodrigo Lopes Rangel Madureira. – 2013. 125 f.: il.

Dissertação (Mestrado em Informática) – Universidade Federal do Rio de Janeiro, Instituto de Matemática, Instituto Tércio Pacitti de Aplicações e Pesquisas Computacionais, Programa de Pós-Graduação em Informática, Rio de Janeiro, 2013.

Orientador: Mauro Antônio Rincon.

Co-orientador: Luis Menasché Schechter.

1. Curvas de Bézier. 2. Métodos Numéricos. 3. Raízes de Funções Reais. 4. Computação Gráfica. – Teses. I. Rincon, Mauro Antônio (Orient.). II. Schechter, Luis Menasché (Co-orient.). III. Universidade Federal do Rio de Janeiro, Instituto de Matemática, Instituto Tércio Pacitti de Aplicações e Pesquisas Computacionais, Programa de Pós-Graduação em Informática. IV. Título

CDD

RODRIGO LOPES RANGEL MADUREIRA

**Algoritmos de interseções de curvas de Bézier com uma  
aplicação à localização de raízes de equações**

Dissertação de Mestrado submetida ao Corpo Docente do Departamento de Ciência da Computação do Instituto de Matemática, e Instituto Tércio Pacitti de Aplicações e Pesquisas Computacionais da Universidade Federal do Rio de Janeiro, como parte dos requisitos necessários para obtenção do título de Mestre em Informática.

Aprovado em: Rio de Janeiro, \_\_\_\_ de \_\_\_\_\_ de \_\_\_\_\_.

---

Prof. Dr. Mauro Antônio Rincon (Orientador)

---

Prof. Dr. Luis Menasché Schechter (Co-orientador)

---

Prof. Dr. Rodrigo Penteado Ribeiro de Toledo

---

Profa. Dra. Juliana Vianna Valério

---

Prof. Dr. Severino Collier Coutinho

Rio de Janeiro  
2013

*Aos meus pais e irmãos...*

# AGRADECIMENTOS

Tenho muito que agradecer a Deus, em primeiro lugar, por ter me ajudado a superar diversos obstáculos para conseguir chegar à conclusão desta dissertação.

Aos meus pais, Diva e Luciano, que me ajudaram nos momentos mais difíceis destes dois anos de dedicação e empenho neste trabalho. Espero que eles se sintam bastante orgulhosos por isso.

Aos meus orientadores, Mauro Rincon e Luis Menasché, que acrescentaram informações bastante valiosas que ajudaram a enriquecer ainda mais o meu trabalho, tornando-o mais consistente.

Aos colegas que fiz no mestrado ao longo de todos os períodos, com quem troquei experiências e informações muito valiosas para minha aprendizagem em todas as disciplinas da grade curricular.

Aos colegas de trabalho do Instituto Tércio Pacitti de Aplicações e Pesquisas Computacionais, por terem me permitido conciliar com tranquilidade as aulas das disciplinas do meu mestrado com meu expediente.

À coordenação, à secretaria e ao corpo docente do Programa de Pós-Graduação em Informática (PPGI), especialmente aos professores da área de Algoritmos e Métodos Numéricos, mestres que me ensinaram a ser um eterno aprendiz.

## RESUMO

Madureira, Rodrigo Lopes Rangel. **Algoritmos de interseções de curvas de Bézier com uma aplicação à localização de raízes de equações**. 2013. 112 f. Dissertação (Mestrado em Informática) - PPGI, Instituto de Matemática, Instituto Tércio Pacitti de Aplicações e Pesquisas Computacionais, Universidade Federal do Rio de Janeiro, Rio de Janeiro, 2013.

As curvas de Bézier receberam essa denominação a partir do trabalho do engenheiro francês Pierre Bézier Etienne (1919-1999) com sistemas CAD/CAM na Renault, no início dos anos 60. Um pouco antes, Paul De Casteljau, um físico e matemático da Citroën, já havia desenvolvido métodos matemáticos equivalentes para essas curvas, muito importantes na área de Computação Gráfica, já que muitos softwares disponíveis no mercado utilizam este conceito. Os principais algoritmos para localizar interseções entre duas curvas de Bézier encontrados na literatura são: Subdivisão Recursiva de De Casteljau, Subdivisão Intervalar adotado por Koparkar e Mudur e Bézier Clipping, sendo este último bastante utilizado para Ray Tracing, um algoritmo usado em Computação Gráfica para geração de imagens. A proposta deste trabalho trata do estudo e análise comparativa dos três algoritmos para o cálculo de interseções entre duas curvas de Bézier, seguidos de um estudo de uma aplicação destes algoritmos para o cálculo de raízes reais de funções (não necessariamente polinomiais).

**Palavras-chave:** Curvas de Bézier, Métodos Numéricos, Raízes de Funções Reais, Computação Gráfica.

# ABSTRACT

Madureira, Rodrigo Lopes Rangel. **Algoritmos de interseções de curvas de Bézier com uma aplicação à localização de raízes de equações**. 2013. 112 f. Dissertação (Mestrado em Informática) - PPGI, Instituto de Matemática, Instituto Tércio Pacitti, Universidade Federal do Rio de Janeiro, Rio de Janeiro, 2013.

Bézier curves received this name from the work of the French engineer Pierre Bézier Etienne (1919-1999) with CAD/CAM systems in Renault, at the beginning of 1960s. Earlier, Paul De Casteljau, a physicist and mathematician at Citroën, had already developed mathematical methods equivalent for these curves, which are very important in the area of Computer Graphics, since many of the available softwares utilize this concept. The main algorithms for finding intersections between two Bézier curves found in the literature are: De Casteljau's Recursive Subdivision, Interval Subdivision Method adopted by Koparkar and Mudur, and Bézier Clipping, which is used for Ray Tracing, an algorithm used in Computer Graphics to generate images. The proposal of this research is to deal with the study and comparative analysis of the three algorithms for the computation of intersections between two Bézier curves, followed by a study of one application of these algorithms to the calculation of real roots of functions (not necessarily polynomial).

**Keywords:** Bézier Curves, Numerical Methods, Roots of Real Functions, Computer Graphics.

## LISTA DE FIGURAS

Figura 1.1: Pierre Bézier Etienne (ROGERS, 2001) . . . . .	1
Figura 2.1: Etapas da construção do segmento de reta . . . . .	5
Figura 2.2: Etapas do processo de construção da curva de Bézier de grau 2 . . . . .	7
Figura 2.3: O processo de construção da curva de Bézier de grau 3 . . . . .	8
Figura 2.4: Polinômios de Bernstein de grau 3 (BUSS, 2003). . . . .	11
Figura 2.5: Curva de Bézier de grau 3. . . . .	12
Figura 2.6: Elevação de grau de uma curva de grau 2 para grau 3 (BUSS, 2003) . . . . .	14
Figura 3.1: Na subdivisão recursiva, duas sub-curvas são obtidas . . . . .	16
Figura 3.2: Três iterações da subdivisão recursiva de De Casteljaou . . . . .	17
Figura 3.3: Uma curva de Bézier $P(t)$ e seu <i>retângulo delimitador</i> . . . . .	18
Figura 3.4: Uma iteração da subdivisão intervalar da curva da Figura 3.3 . . . . .	19
Figura 3.5: Duas iterações da subdivisão intervalar . . . . .	19
Figura 3.6: Fat Line limitando uma curva de Bézier de grau 4 . . . . .	20
Figura 3.7: Fat Line para curva de Bézier quadrática . . . . .	22
Figura 3.8: Fat Lines para curvas de Bézier cúbicas . . . . .	24
Figura 3.9: Fat Line para curva de Bézier cúbica $Q(u)$ no processo de Bézier Clipping . . . . .	25
Figura 3.10: Curva de Bézier para representação Bernstein-Bézier de $d(t)$ . . . . .	26
Figura 3.11: Segunda iteração do Bézier Clipping . . . . .	27
Figura 3.12: (a) Duas interseções; (b) Resultado após a subdivisão de uma das curvas . . . . .	27
Figura 4.1: Gráfico do exemplo 1 com os pontos de controle no intervalo $x \in [2, 4]$ . . . . .	35
Figura 4.2: Curvas de Bézier $P(t)$ e $Q(u)$ no gráfico do exemplo 1 . . . . .	39
Figura 4.3: Gráfico do exemplo 1 nos intervalos $x \in [2, 4]$ e $y \geq 0$ . . . . .	43
Figura 4.4: Gráfico para o experimento 2 do exemplo 1 nos intervalos $x \in [2, 4]$ e $y \geq 0$ . . . . .	50
Figura 4.5: Gráfico do exemplo 1 nos intervalos $x \in [2, 4]$ e $y \geq 0$ . . . . .	53
Figura 4.6: Gráfico do exemplo 2 . . . . .	57
Figura 4.7: Gráfico do exemplo 2 no intervalo $x \in [-0.5, 0]$ e $y \geq 0$ . . . . .	60
Figura 4.8: Gráfico do exemplo 3 no intervalo $x \in [0, 1]$ . . . . .	63
Figura 4.9: Gráfico do exemplo 4 no intervalo $x \in [1, 2]$ . . . . .	66

## LISTA DE TABELAS

Tabela 4.1: Exemplo 1 - Resultados para quatro iterações do Bézier Clipping	45
Tabela 4.2: Exemplo 1 - Iterações para $P(t)$ - De Casteljau e Intervalar . . .	46
Tabela 4.3: Exemplo 1 - Iterações para $Q(u)$ - De Casteljau e Intervalar . . .	47
Tabela 4.4: Exemplo 1 - Iterações para Bézier Clipping usando Interpolação de Bézier da Seção 4.3 e Curva de Bézier de grau 3 . . . . .	51
Tabela 4.5: Exemplo 1 - Iterações para Bézier Clipping usando Interpolação de Bézier da Seção 4.3 e Curva de Bézier de grau 9 . . . . .	53
Tabela 4.6: Exemplo 1 - Iterações para $P(t)$ - Subdivisão Recursiva de De Casteljau para curva de grau 9 . . . . .	54
Tabela 4.7: Exemplo 1 - Iterações para $Q(u)$ - Subdivisão Recursiva de De Casteljau para curva de grau 9 . . . . .	54
Tabela 4.8: Exemplo 1 - Iterações para $P(t)$ - Subdivisão Intervalar para curva de grau 9 . . . . .	55
Tabela 4.9: Exemplo 1 - Iterações para $Q(u)$ - Subdivisão Intervalar para curva de grau 9 . . . . .	55
Tabela 4.10: Exemplo 2 - Resultados para três iterações do Bézier Clipping . .	60
Tabela 4.11: Exemplo 2 - Iterações para $P(t)$ - De Casteljau e Intervalar . . .	61
Tabela 4.12: Exemplo 2 - Iterações para $Q(u)$ - De Casteljau e Intervalar . . .	61
Tabela 4.13: Exemplo 3 - Resultados para duas iterações do Bézier Clipping .	63
Tabela 4.14: Exemplo 3 - Iterações para $P(t)$ - Subdivisão de De Casteljau e Intervalar . . . . .	63
Tabela 4.15: Exemplo 3 - Iterações para $Q(u)$ - Subdivisão de De Casteljau e Intervalar . . . . .	64
Tabela 4.16: Exemplo 4 - Iterações para Bézier Clipping usando Interpolação de Bézier da Seção 4.3 e Curva de Bézier de grau 9 . . . . .	67
Tabela 4.17: Exemplo 4 - Iterações para $P(t)$ - Subdivisão Recursiva de De Casteljau para curva de grau 9 . . . . .	68
Tabela 4.18: Exemplo 4 - Iterações para $Q(u)$ - Subdivisão Recursiva de De Casteljau para curva de grau 9 . . . . .	68
Tabela 4.19: Exemplo 4 - Iterações para $P(t)$ - Subdivisão Intervalar para curva de grau 9 . . . . .	69
Tabela 4.20: Exemplo 4 - Iterações para $Q(u)$ - Subdivisão Intervalar para curva de grau 9 . . . . .	69
Tabela 5.1: Valores mínimo e máximo do parâmetro para Bézier Clipping usando Alternativa 2 da Seção 4.3 e Curva de Bézier de grau 9 . .	71

Tabela 5.2: Erros para os valores mínimo e máximo do parâmetro para Bézier Clipping usando Alternativa 2 da Seção 4.3 e Curva de Bézier de grau 9 . . . . .	71
---	----

# SUMÁRIO

<b>1</b>	<b>INTRODUÇÃO</b>	<b>1</b>
1.1	Motivações	3
1.2	Roteiro	3
<b>2</b>	<b>CURVAS DE BÉZIER</b>	<b>5</b>
2.1	Segmentos de retas	5
2.2	Curvas de Bézier de grau 2	6
2.3	Curvas de Bézier de grau 3	8
2.4	Curvas de Bézier de grau arbitrário	10
2.5	Principais características	12
2.6	Elevação de Grau	13
<b>3</b>	<b>PRINCIPAIS ALGORITMOS DE INTERSEÇÕES DE CURVAS DE BÉZIER</b>	<b>15</b>
3.1	Subdivisão recursiva de De Casteljaou	15
3.1.1	Área envolvente	15
3.1.2	Funcionamento do algoritmo	16
3.2	Subdivisão intervalar de Koparkar e Mudur	17
3.2.1	Área envolvente	17
3.2.2	Funcionamento do algoritmo	18
3.3	Bézier Clipping	19
3.3.1	Área envolvente	20
3.3.2	Funcionamento do algoritmo	23
3.4	Verificação de Interseções	26
3.4.1	Interseções múltiplas	26
3.4.2	Interseções simples	27
<b>4</b>	<b>CÁLCULO DE INTERSEÇÕES</b>	<b>29</b>
4.1	Resultante	29
4.2	Teorema de Bézout	31
4.3	Aproximação de curvas algébricas planas por curvas de Bézier	31
4.3.1	Parametrização com Elevação de Grau	32
4.3.2	Interpolação de curvas de Bézier	33
4.4	Exemplos de cálculo de interseções	34
4.4.1	Exemplo 1	34
4.4.1.1	Experimento 1	36

4.4.1.2	Experimento 2 . . . . .	47
4.4.1.3	Experimento 3 . . . . .	51
4.4.2	Exemplo 2 . . . . .	55
4.4.2.1	Experimento . . . . .	57
4.4.3	Exemplo 3 . . . . .	61
4.4.3.1	Experimento . . . . .	62
4.4.4	Exemplo 4 . . . . .	64
4.4.4.1	Experimento . . . . .	65
<b>5</b>	<b>CONCLUSÕES . . . . .</b>	<b>70</b>
5.1	Convergência dos algoritmos . . . . .	70
5.2	Principais contribuições . . . . .	71
5.3	Trabalhos futuros . . . . .	72
	<b>REFERÊNCIAS . . . . .</b>	<b>73</b>
	<b>APÊNDICE A . . . . .</b>	<b>75</b>
	<b>APÊNDICE B . . . . .</b>	<b>94</b>
	<b>APÊNDICE C . . . . .</b>	<b>103</b>
	<b>APÊNDICE D . . . . .</b>	<b>108</b>

# 1 INTRODUÇÃO

As curvas de Bézier receberam essa denominação a partir do trabalho do engenheiro francês Pierre Bézier Etienne (1919-1999) com sistemas CAD/CAM na Renault, no início dos anos 60, para o design de automóveis. Elas foram formalizadas como resultado do trabalho de Paul De Casteljaeu, um físico e matemático da Citroën que já havia desenvolvido no final da década de 50 métodos matemáticos equivalentes para geração dos pontos que compõem as curvas. (BUSS, 2003)

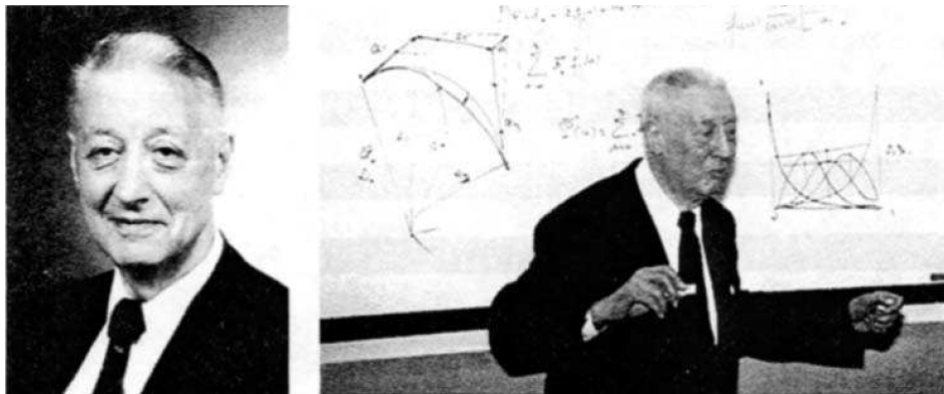


Figura 1.1: Pierre Bézier Etienne (ROGERS, 2001)

Hoje, transcorridas cinco décadas, pode-se afirmar que existem diversas aplicações para as curvas de Bézier, especialmente na área de Computação Gráfica, onde são trabalhadas nos campos de modelagem tridimensional e animações. São utilizadas em diversas aplicações gráficas disponíveis no mercado e representam uma ferramenta indispensável na era digital por permitir desenhos de contornos mais suaves de objetos, além de sua construção matemática favorecer inexoravelmente a sua manipulação através dos computadores.

A proposta deste trabalho é apresentar outra aplicação interessante das cur-

vas de Bézier: localizar interseções de curvas algébricas planas, que são representadas através de funções de duas variáveis. Para isto, aproveita-se uma característica marcante das curvas de Bézier, que é a sua capacidade de se aproximar de outros tipos de curvas num dado intervalo. Assim, com a devida manipulação dos pontos de controle que vão definir a forma geral das curvas, é possível criar novas curvas que se aproximem de cônicas como parábolas, hipérbolas, entre outras.

Os métodos mais tradicionais encontrados na literatura para localizar interseções de curvas algébricas planas são o cálculo analítico através da definição de resultante das curvas e o método numérico de Newton para sistemas não lineares. O cálculo da resultante será importante para o Teorema de Bézout, que utiliza este resultado para definir o número máximo de interseções de duas curvas em função de seus respectivos graus. Ao longo deste trabalho, serão discutidas as vantagens e desvantagens desses métodos tradicionais em comparação com os algoritmos que utilizam curvas de Bézier, os quais representam o escopo deste trabalho.

Os principais algoritmos para localizar interseções entre duas curvas de Bézier encontrados na literatura são: Subdivisão recursiva de De Casteljau, Subdivisão intervalar adotado por Koparkar e Mudur (SEDERBERG ; PARRY, 1986) e Bézier Clipping (NISHITA ; SEDERBERG, 1990). Estes algoritmos podem ser aplicados para o cálculo numérico das interseções de curvas algébricas planas e cada um possui sua particularidade e ordem de convergência.

Neste trabalho, será feito um estudo e uma análise comparativa dos três algoritmos para o cálculo de interseções entre duas curvas algébricas planas, aproximadas por curvas de Bézier.

## 1.1 Motivações

A principal motivação vem do trabalho desenvolvido no Projeto Final de Graduação em Ciência da Computação na Universidade Federal do Rio de Janeiro (UFRJ), onde foi mostrado um método de localização de raízes reais de polinômios de uma variável usando curvas de Bézier. Este método, baseado na subdivisão recursiva de De Casteljau e na forma paramétrica de Bernstein-Bézier para polinômios, trata de um problema equivalente a encontrar a interseção de uma curva de Bézier com uma reta, que no caso era a reta horizontal da origem das coordenadas  $(x, y)$  no  $\mathbb{R}^2$ . Agora, a ideia é generalizar este problema para encontrar interseções entre duas curvas de Bézier quaisquer, usando os algoritmos descritos anteriormente.

Outro fator que motiva o desenvolvimento deste trabalho está relacionado ao grau dos polinômios que definem duas curvas no  $\mathbb{R}^2$ . Se o grau for bastante elevado, o cálculo analítico pela resultante fica muito custoso, pois a elevação de grau é proporcional à elevação de número de linhas e colunas de uma matriz, cujo determinante é a resultante das curvas. Além disso, se o grau da resultante for alto, também é muito custoso encontrar as suas raízes para determinar os pontos de interseção. Essas razões tornaram interessante a aplicação dos métodos de curvas de Bézier ao invés do método analítico.

## 1.2 Roteiro

**Capítulo 2:** Contém as principais características e propriedades das curvas de Bézier. São mostradas algumas definições básicas que ajudam a compreender os passos para a construção de uma curva de graus 2 e 3 e a generalização para curvas de grau  $n > 3$ .

**Capítulo 3:** Mostra os principais algoritmos de interseção de duas curvas de Bézier encontrados na literatura, os quais são: Subdivisão recursiva de De Casteljau, Subdivisão intervalar adotado por Koparkar e Mudur (SEDERBERG ; PARRY, 1986) e Bézier Clipping (NISHITA ; SEDERBERG, 1990).

**Capítulo 4:** Neste capítulo, serão mostradas as definições do Teorema de Bézout, da Resultante de duas curvas algébricas planas e alguns exemplos de aplicação dos algoritmos vistos no capítulo 3 às interseções de curvas algébricas planas. Além disso, será mostrado um exemplo complementar de interseção de funções de uma variável.

**Capítulo 5:** Apresenta as conclusões deste trabalho, as vantagens e desvantagens de cada algoritmo estudado e uma análise comparativa com os demais métodos encontrados na literatura.

## 2 CURVAS DE BÉZIER

A base para compreender o processo de construção das curvas de Bézier nas seções deste capítulo começa a partir das curvas lineares. Em seguida, serão tratadas as curvas de grau arbitrário  $n \geq 2$ .

### 2.1 Segmentos de retas

São produzidos através do movimento de um ponto intermediário  $R_0$  no segmento de reta que une os pontos  $P_0$  e  $P_1$  no  $\mathbb{R}^2$ . Os pontos  $P_0$  e  $P_1$  são denominados pontos de controle. Na Figura 2.1, são mostradas as etapas de construção de um segmento de reta de Bézier.

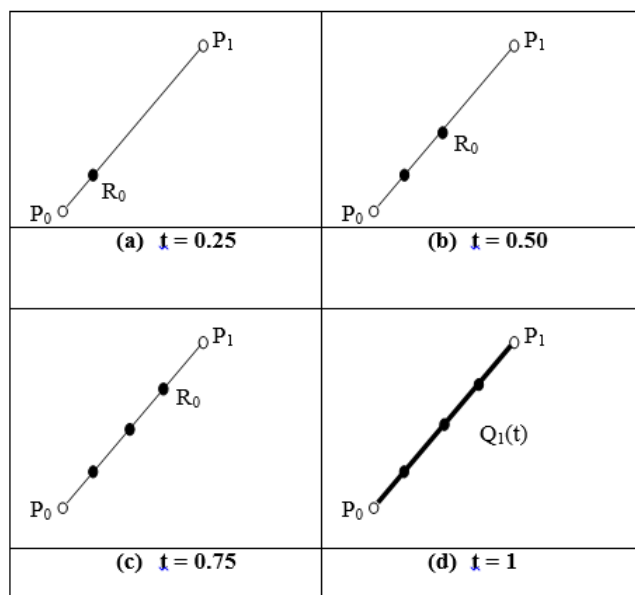


Figura 2.1: Etapas da construção do segmento de reta

Como pode ser observado, o ponto  $R_0$  divide o segmento a cada instante por um parâmetro real  $t \in [0, 1]$ . Então, conclui-se que:

$$R_0 - P_0 = t(P_1 - P_0), 0 \leq t \leq 1. \quad (2.1)$$

Desenvolvendo a equação 2.1, chega-se ao seguinte resultado:

$$R_0 = (1 - t)P_0 + tP_1, 0 \leq t \leq 1. \quad (2.2)$$

## 2.2 Curvas de Bézier de grau 2

As curvas de Bézier de grau 2 são definidas por três pontos de controle  $P_0$ ,  $P_1$  e  $P_2$  no  $\mathbb{R}^2$ . Elas são formadas pela concatenação de dois segmentos de retas, as quais são os segmentos  $P_0P_1$  e  $P_1P_2$ . A Figura 2.2 mostra o processo de construção da curva em valores específicos desde  $t = 0.25$  até chegar à curva quadrática  $Q_2(t)$ , quando  $t = 1$ . Através dos pontos de controle, construímos sequencialmente os segmentos de reta  $P_0P_1$  e  $P_1P_2$ . Em seguida, teremos os pontos  $R_0$  e  $R_1$  dividindo estes segmentos pela mesma razão. Finalmente, através de  $R_0$  e  $R_1$ , o segmento  $R_0R_1$  será construído e teremos o ponto  $S_0$  dividindo este último segmento pela mesma razão dos segmentos anteriores. A razão utilizada para dividir os segmentos será o parâmetro real  $t \in [0, 1]$ .

Como podemos observar na Figura 2.2, o ponto  $S_0$  se movimenta sobre uma curva de Bézier quadrática  $Q_2(t)$  se  $R_0$  se move sobre o segmento de reta  $P_0P_1$  e  $R_1$  sobre  $P_1P_2$ .

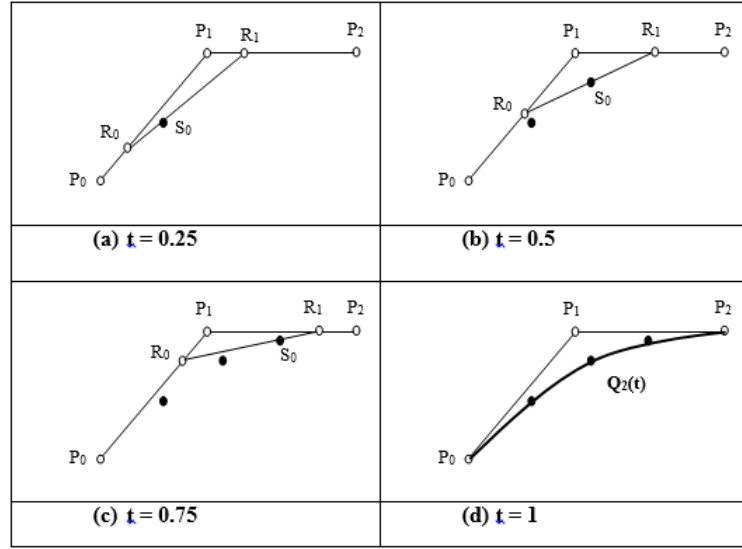


Figura 2.2: Etapas do processo de construção da curva de Bézier de grau 2

Assim, para algum parâmetro  $t \in \mathbb{R}$ :

$$R_0 - P_0 = t(P_1 - P_0) \Rightarrow R_0 = (1 - t)P_0 + tP_1. \quad (2.3)$$

$$R_1 - P_1 = t(P_2 - P_1) \Rightarrow R_1 = (1 - t)P_1 + tP_2. \quad (2.4)$$

$$S_0 - R_0 = t(R_1 - R_0) \Rightarrow S_0 = (1 - t)R_0 + tR_1, 0 \leq t \leq 1. \quad (2.5)$$

Substituindo os valores de  $R_0$  e  $R_1$  das equações 2.3 e 2.4 na equação 2.5, chega-se ao resultado:

$$S_0 = Q_2(t) = (1 - t)^2P_0 + 2(1 - t)tP_1 + t^2P_2, 0 \leq t \leq 1. \quad (2.6)$$

Percebe-se então que o ponto inicial  $P_0$  e o ponto final  $P_2$  interceptam a curva quadrática  $Q_2(t)$  e o ponto  $P_1$  influencia o comportamento da curva. (BUSS, 2003)

### 2.3 Curvas de Bézier de grau 3

As curvas de Bézier mais comuns são as de grau 3, que são definidas por quatro pontos de controle  $P_0, P_1, P_2$  e  $P_3$  no  $\mathbb{R}^2$ . O método de construção, que é análogo ao que foi mostrado para o caso da curva quadrática, é ilustrado na Figura 2.3:

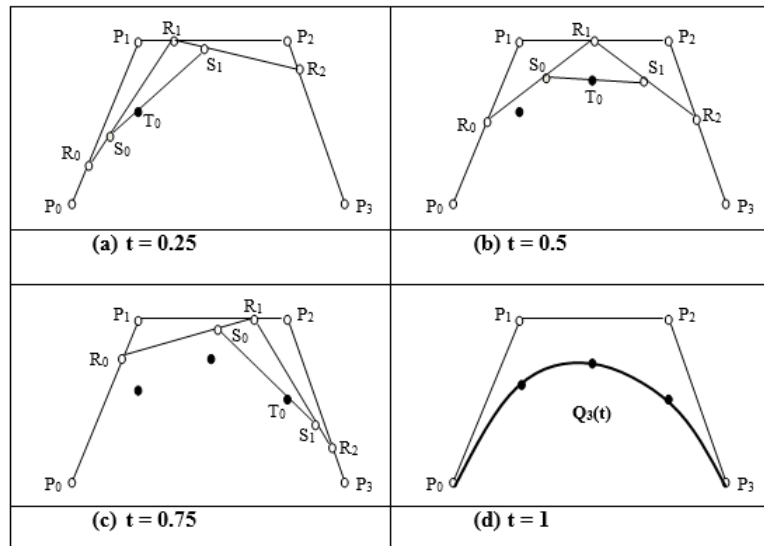


Figura 2.3: O processo de construção da curva de Bézier de grau 3

Como podemos observar na Figura 2.3, o ponto  $T_0$  se movimenta sobre uma curva de Bézier cúbica  $Q_3(t)$  se  $R_0$  se move sobre o segmento de reta  $P_0P_1$ ,  $R_1$  sobre  $P_1P_2$ ,  $R_2$  sobre  $P_2P_3$ ,  $S_0$  sobre  $R_0R_1$ ,  $S_1$  sobre  $R_1R_2$ ,  $T_0$  sobre  $S_0S_1$ , e além disso, podemos ver que  $S_0$  se movimenta sobre a curva quadrática definida pelos pontos  $P_0, P_1$  e  $P_2$ , e  $S_1$  se movimenta sobre a curva quadrática definida pelos pontos  $P_1, P_2$  e  $P_3$ .

Assim, para algum parâmetro  $t \in \mathbb{R}$ :

$$R_0 - P_0 = t(P_1 - P_0) \Rightarrow R_0 = (1 - t)P_0 + tP_1 \quad (2.7)$$

$$R_1 - P_1 = t(P_2 - P_1) \Rightarrow R_1 = (1 - t)P_1 + tP_2 \quad (2.8)$$

$$R_2 - P_2 = t(P_3 - P_2) \Rightarrow R_2 = (1 - t)P_2 + tP_3 \quad (2.9)$$

$$S_0 - R_0 = t(R_1 - R_0) \Rightarrow S_0 = (1 - t)R_0 + tR_1 \quad (2.10)$$

$$S_1 - R_1 = t(R_2 - R_1) \Rightarrow S_1 = (1 - t)R_1 + tR_2 \quad (2.11)$$

$$T_0 - S_0 = t(S_1 - S_0) \Rightarrow T_0 = (1 - t)S_0 + tS_1, 0 \leq t \leq 1. \quad (2.12)$$

Substituindo os valores de  $R_0$  e  $R_1$  das equações 2.7 e 2.8 na equação 2.10, tem-se:

$$S_0 = (1 - t)^2 P_0 + 2(1 - t)tP_1 + t^2 P_2, 0 \leq t \leq 1. \quad (2.13)$$

A equação 2.13 já mostra que  $S_0$  se move sobre uma curva quadrática de Bézier definida pelos pontos  $P_0$ ,  $P_1$  e  $P_2$ .

Substituindo os valores de  $R_1$  e  $R_2$  das equações 2.8 e 2.9 na equação 2.11, tem-se:

$$S_1 = (1 - t)^2 P_1 + 2(1 - t)tP_2 + t^2 P_3, 0 \leq t \leq 1. \quad (2.14)$$

Essa equação já mostra que  $S_1$  se move sobre uma curva quadrática de Bézier definida pelos pontos  $P_1, P_2$  e  $P_3$ .

Finalmente, substituindo os valores de  $S_0$  e  $S_1$  das equações 2.13 e 2.14 na equação 2.12, chega-se à equação da curva de Bézier cúbica:

$$T_0 = Q_3(t) = (1 - t)^3 P_0 + 3(1 - t)^2 t P_1 + 3(1 - t)t^2 P_2 + t^3 P_3, 0 \leq t \leq 1. \quad (2.15)$$

## 2.4 Curvas de Bézier de grau arbitrário

Seja  $n \geq 1$  um número inteiro. A curva de Bézier de grau  $n$ ,  $Q_n(t)$ , determinada por  $n + 1$  pontos de controle  $P_0, P_1, \dots, P_n$  é uma curva definida parametricamente por:

$$Q_n(t) = \sum_{i=0}^n P_i B_i^n(t) \quad (2.16)$$

no domínio  $t \in [0, 1]$ , onde

$$B_i^n(t) = \binom{n}{i} (1 - t)^{n-i} t^i, 0 \leq i \leq n \quad (2.17)$$

são as funções-base denominadas *Polinômios de Bernstein*.

Na equação 2.15 da curva de Bézier de grau 3, os polinômios de Bernstein são:  $B_0^3(t) = (1 - t)^3$ ;  $B_1^3(t) = 3(1 - t)^2t$ ;  $B_2^3(t) = 3(1 - t)t^2$ ;  $B_3^3(t) = t^3$ .

Essas quatro funções estão representadas no gráfico da Figura 2.4.

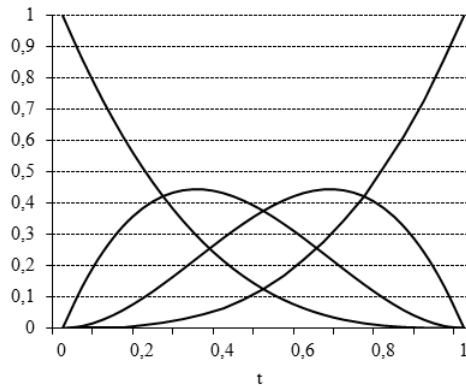


Figura 2.4: Polinômios de Bernstein de grau 3 (BUSS, 2003).

A soma dessas quatro funções é sempre igual a 1. Isso pode ser verificado pelo teorema binomial:

$$\sum_{i=0}^3 B_3^i(t) = \sum_{i=0}^3 \binom{3}{i} (1-t)^{3-i} t^i = [t + (1-t)]^3 = 1. \quad (2.18)$$

Temos também que  $B_3^0(0) = 1$  e  $B_3^3(1) = 1$ . A partir deste resultado e do resultado de 2.18, conclui-se que  $Q_3(t)$  é sempre calculada como uma média ponderada dos quatro pontos de controle e que  $Q_3(t) = P_0$  e  $Q_3(1) = P_3$ , confirmando a observação de que  $Q_3(t)$  começa em  $P_0$  e termina em  $P_3$ . (BUSS, 2003); (LENGYEL, 2004).

Caso o domínio seja arbitrário  $t \in [a, b]$  para algum  $t \in \mathbb{R}$ , as funções-base se tornam:

$$B_n^i(t) = \binom{n}{i} \left(\frac{b-t}{b-a}\right)^{n-i} \left(\frac{t-a}{b-a}\right)^i, 0 \leq i \leq n. \quad (2.19)$$

A Figura 2.5 mostra um exemplo de curva de Bézier de grau 3.

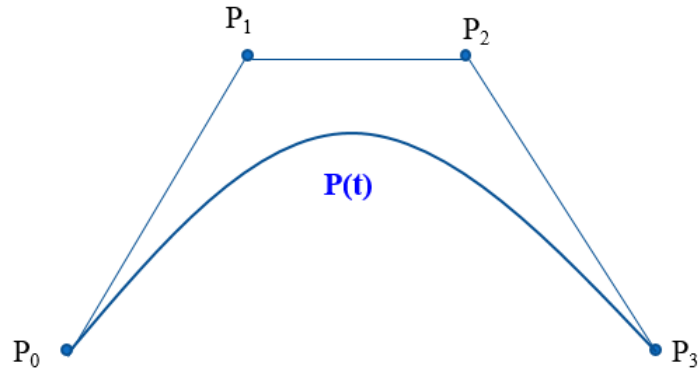


Figura 2.5: Curva de Bézier de grau 3.

## 2.5 Principais características

Algumas definições importantes das curvas de Bézier são (BUSS, 2003):

1. Para curvas de Bézier  $P(t)$ ,  $0 \leq t \leq 1$ , de grau  $n \geq 2$ , o polígono formado pelos pontos de controle  $P_0, P_1, \dots, P_n$  formará o polígono de controle. A Figura 2.5 mostra uma curva cúbica e seu respectivo polígono de controle.
2. O ponto inicial  $P_0$  e o ponto final  $P_n$  são denominados pontos extremos do polígono de controle, pois se localizam nas extremidades dele. Os pontos  $P_1, P_2, \dots, P_{n-1}$  são denominados pontos intermediários ou interiores do polígono de controle.

3. Os pontos extremos do polígono de controle também são extremidades da curva. Assim,  $P_0 = Q_n(0)$  e  $P_n = Q_n(1)$ .
4. **Propriedade do fecho convexo:** a curva sempre estará contida no fecho convexo do polígono de controle.
5. **Propriedade de invariância afim:** Qualquer transformação nos pontos de controle implica em transformação na curva. A curva é uma aproximação mais suave do polígono de controle. Assim, a quantidade de vezes que os segmentos do polígono de controle interceptam a curva será no máximo a quantidade destes segmentos.
6. As derivadas da curva de Bézier de grau  $n$  nos pontos extremos:

$$\begin{aligned} P'(0) &= n(P_1 - P_0); \\ P'(1) &= n(P_n - P_{n-1}) \end{aligned} \tag{2.20}$$

Caso o domínio seja arbitrário  $t \in [a, b]$  para algum  $t \in \mathbb{R}$ , as derivadas nos pontos extremos se tornam:

$$\begin{aligned} P'(a) &= \left( \frac{n}{b-a} \right) (P_1 - P_0); \\ P'(b) &= \left( \frac{n}{b-a} \right) (P_n - P_{n-1}) \end{aligned} \tag{2.21}$$

## 2.6 Elevação de Grau

Dada uma curva de Bézier  $P(t)$  de grau  $n$  definida pelos  $n + 1$  pontos de controle  $P_0, P_1, \dots, P_n$ , podem ser encontrados  $n + 2$  pontos de controle  $\hat{P}_0, \hat{P}_1, \dots, \hat{P}_{n+1}$  que definem uma curva de Bézier  $\hat{P}(t)$  de grau  $n + 1$  idêntica à curva  $P(t)$ . Para isso, deve ser usada a seguinte relação de recorrência (BUSS, 2003):

$$\begin{aligned}
\hat{P}_0 &= P_0; \\
\hat{P}_{n+1} &= P_n; \\
\hat{P}_i &= \left(\frac{i}{n+1}\right) P_{i-1} + \left(1 - \frac{i}{n+1}\right) P_i
\end{aligned} \tag{2.22}$$

Na Figura 2.6, é mostrado um exemplo de elevação de uma curva de grau 2, cujos pontos de controle são  $P_0, P_1, P_2$ , para grau 3, onde os novos pontos de controle são  $\hat{P}_0, \hat{P}_1, \hat{P}_2, \hat{P}_3$ , definidos de acordo com a relação de recorrência vista anteriormente.

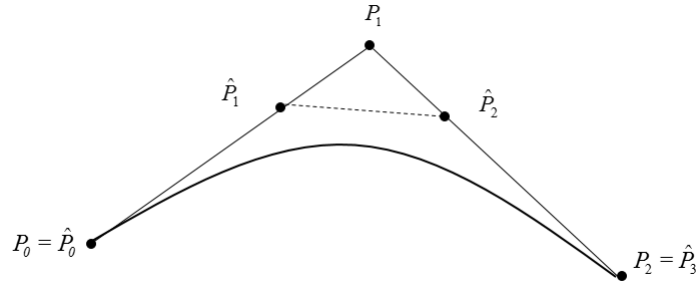


Figura 2.6: Elevação de grau de uma curva de grau 2 para grau 3 (BUSS, 2003)

## 3 PRINCIPAIS ALGORITMOS DE INTERSEÇÕES DE CURVAS DE BÉZIER

Neste capítulo, serão descritos os três algoritmos principais para cálculo das interseções entre duas curvas de Bézier, que neste trabalho serão utilizadas como aproximações para curvas algébricas planas num dado intervalo.

### 3.1 Subdivisão recursiva de De Casteljau

É o processo de divisão de uma curva de Bézier em duas sub-curvas usando o método de De Casteljau. É muito usado quando se quer aproximar uma curva de Bézier por segmentos de reta. (BUSS, 2003)

#### 3.1.1 Área envolvente

O processo de subdivisão de De Casteljau utiliza como área envolvente para a curva o fecho convexo de seu polígono de controle. Suponha que uma curva de Bézier  $Q_3(t)$  possui fecho convexo formado pelos pontos de controle  $P_0, P_1, P_2$  e  $P_3$  e é dividida em duas partes:

$$Q_{31}(t) = Q_3(t/2)$$

e

$$Q_{32}(t) = Q_3((t+1)/2)$$

Então,  $Q_{31}(t)$  e  $Q_{32}(t)$  são também curvas cúbicas de Bézier. Como  $Q_{31}(t)$  e  $Q_{32}(t)$  ficam restritos ao domínio  $[0, 1]$ , então  $Q_{31}(t)$  é a primeira metade da curva e  $Q_{32}(t)$  é a segunda metade da curva.

A Figura 3.1 mostra o resultado da subdivisão:  $Q_{31}(t)$ , cujo fecho convexo é formado pelos pontos de controle  $P_0, R_0, S_0, T_0$ , e  $Q_{32}(t)$ , cujo fecho convexo é formado pelos pontos de controle  $T_0, S_1, R_2, P_3$

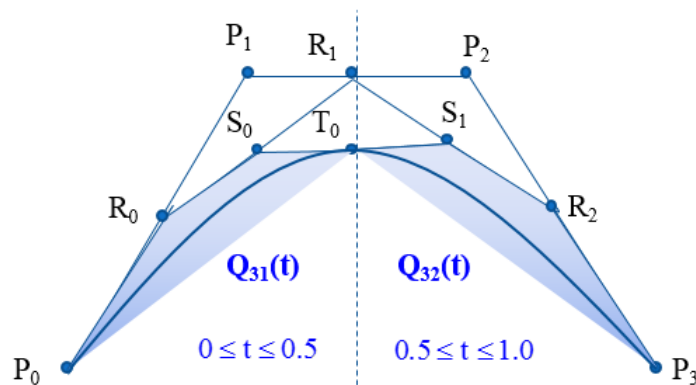


Figura 3.1: Na subdivisão recursiva, duas sub-curvas são obtidas

### 3.1.2 Funcionamento do algoritmo

No algoritmo, o fecho convexo do polígono de controle de cada curva é subdividido ao meio em dois fechos convexos menores que vão cobrir as duas sub-curvas resultantes. Depois, deve-se aplicar o procedimento de verificação de interseção nos fechos convexos menores que são gerados. Quando há interseção, o processo de subdivisão continua nos fechos convexos menores onde o teste de detecção foi positivo. Quando não há interseção, o processo de subdivisão é interrompido nos fechos convexos menores onde não há sobreposição.

A Figura 3.2 mostra um exemplo de três iterações para interseção de duas

curvas de Bézier de grau 3. (SEDERBERG ; PARRY, 1986)

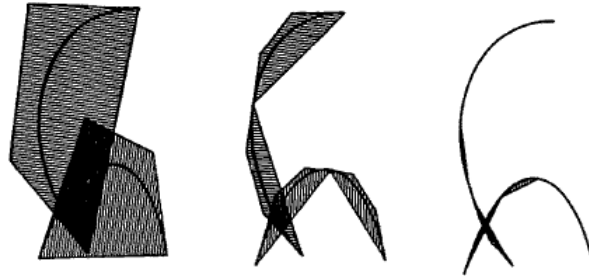


Figura 3.2: Três iterações da subdivisão recursiva de De Casteljaou

A subdivisão recursiva associada ao método de De Casteljaou é uma propriedade especial porque sempre resulta em polígonos de controle que convergem para a própria curva. (BUSS, 2003)

## 3.2 Subdivisão intervalar de Koparkar e Mudur

Trata-se de um algoritmo que funciona de forma análoga ao da Subdivisão recursiva de De Casteljaou.

### 3.2.1 Área envolvente

Na subdivisão intervalar, ao invés da utilização do fecho convexo do polígono de controle, utiliza-se um *retângulo delimitador* para cobrir a curva nas coordenadas mínimas e máximas.

Cada curva é pré-processada para determinar suas tangentes horizontais e verticais nos pontos de coordenadas mínimas e máximas. As delimitações destas tangentes definem os intervalos que vão corresponder aos lados do retângulo.

A Figura 3.3 mostra um exemplo de uma curva  $P(t)$  formada pelos pontos  $P_i = (x_i, y_i), 0 \leq i \leq 3$  e seu retângulo delimitador onde  $x_{min} = x_0, y_{min} = y_0, x_{max} = x_3, y_{max} = y_2$ .

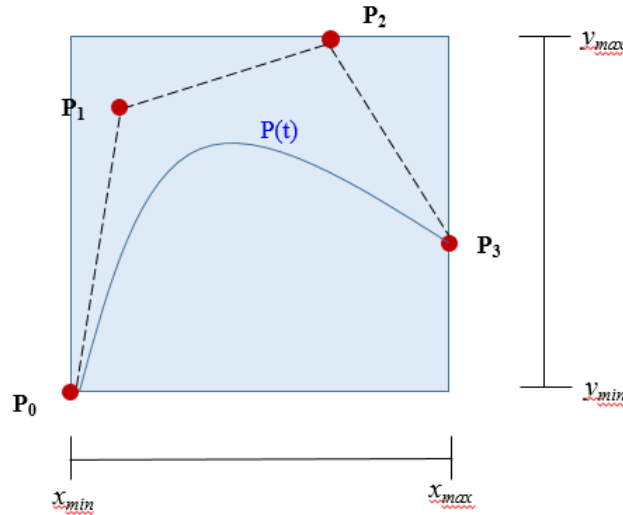


Figura 3.3: Uma curva de Bézier  $P(t)$  e seu *retângulo delimitador*

### 3.2.2 Funcionamento do algoritmo

No algoritmo de Subdivisão Intervalar de Koparkar e Mudur, após a primeira iteração, de forma análoga ao que acontece na Subdivisão Recursiva de De Casteljau, o *retângulo delimitador* é dividido na coordenada correspondente à metade da curva, gerando dois novos *retângulos delimitadores*.

A Figura 3.4 mostra uma iteração do algoritmo para a curva da Figura 3.3, onde  $x_{max1} = x_{min2} = x(t = 0.5)$  e  $y_{max1} = y_{max2} = y(t = 0.5)$ .

A Figura 3.5 mostra duas iterações do algoritmo para uma curva de Bézier cúbica. (SEDERBERG ; PARRY, 1986)

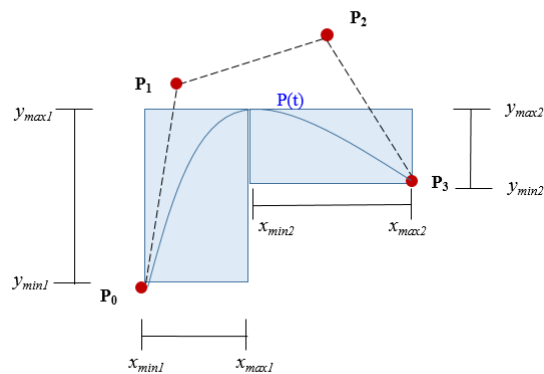


Figura 3.4: Uma iteração da subdivisão intervalar da curva da Figura 3.3

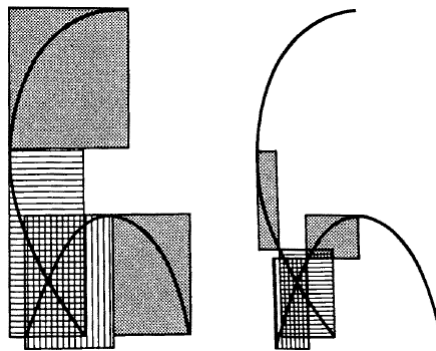


Figura 3.5: Duas iterações da subdivisão intervalar

### 3.3 Bézier Clipping

Trata-se de um algoritmo proposto em 1990 por Tomoyuki Nishita, professor do Departamento de Engenharia da Universidade de Tóquio, e Thomas W. Sederberg, professor do Departamento de Ciência da Computação da Universidade de Brigham Young, nos Estados Unidos, para o problema da interseção de curvas de Bézier. (NISHITA ; SEDERBERG, 1990)

### 3.3.1 Área envolvente

**Fat Line.** É a região de recorte que fica entre duas retas paralelas a uma reta  $L$  que intercepta os pontos de controle extremos da curva, sendo que uma das retas paralelas intercepta o ponto de controle que está à uma distância mínima de  $L$  e a outra intercepta o ponto de controle que está a uma distância máxima de  $L$ , como mostra a figura 3.6.

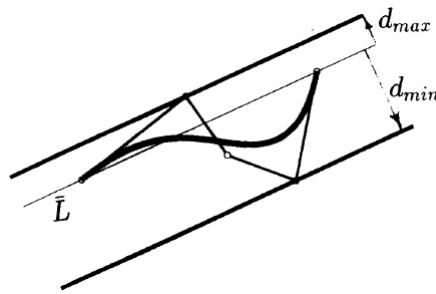


Figura 3.6: Fat Line limitando uma curva de Bézier de grau 4

Se a reta  $L$  possui equação implícita:

$$ax + by + c = 0 \quad (3.1)$$

Então, a distância de qualquer ponto  $(x, y)$  até  $L$  é dada por:

$$d(x, y) = \frac{ax + by + c}{\sqrt{a^2 + b^2}} \quad (3.2)$$

Assim, denotaremos por  $d_i = d(x_i, y_i)$  a distância com sinal de um ponto de controle  $P_i = (x_i, y_i)$  à reta  $L$ .

Logo, a região Fat Line cobrirá o seguinte conjunto de pontos:

$$\{(x, y) | d_{min} \leq d(x, y) \leq d_{max}\}$$

Onde

$$d_{min} = \min\{d_0, \dots, d_n\}$$

$$d_{max} = \max\{d_0, \dots, d_n\}$$

Para os casos das curvas quadráticas e cúbicas, que serão vistos a seguir, os cálculos de  $d_{min}$  e  $d_{max}$  são feitos de outra maneira para que a *Fat Line* se aproxime mais dos pontos da curva onde a derivada se anula.

**Caso Quadrático.** Se  $d(t)$  é a distância de qualquer ponto na curva  $P(t)$  até L, então, para curvas de Bézier quadráticas, temos:

$$d(t) = 2t(1 - t)d_1 \tag{3.3}$$

cujos limites da *Fat Line* são dados por:

$$d_{min} = \min \left\{ 0, \frac{d_1}{2} \right\} \tag{3.4}$$

$$d_{max} = \max \left\{ 0, \frac{d_1}{2} \right\}$$

O caso quadrático é mostrado na Figura 3.7 (NISHITA ; SEDERBERG, 1990).

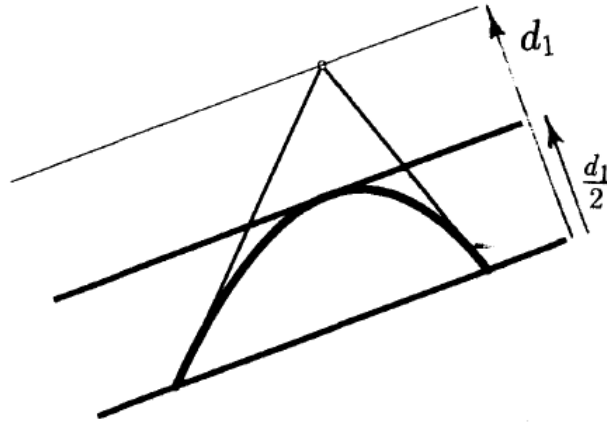


Figura 3.7: Fat Line para curva de Bézier quadrática

**Caso cúbico.** Para este caso, temos:

$$d(t) = 3t(1-t)[(1-t)d_1 + td_2] \quad (3.5)$$

Segundo (NISHITA ; SEDERBERG, 1990), no caso de curvas de Bézier cúbicas, devemos usar os seguintes casos para os valores de  $d_{min}$  e  $d_{max}$ :

**Caso 1:**  $d_1d_2 > 0$

Neste caso, os limites da Fat Line cobrem a seguinte região:

$$\min\{0, d_1, d_2\}3t(1-t) \leq d(t) \leq \max\{0, d_1, d_2\}3t(1-t) \quad (3.6)$$

Derivando a expressão  $3t(1-t)$  de (3.6) e igualando a zero, é encontrado  $t = \frac{1}{2}$ . Assim, substituindo este valor de  $t$  em (3.6), podem ser usados os seguintes valores para  $d_{min}$  e  $d_{max}$ :

$$d_{min} = \frac{3}{4} \min\{0, d_1, d_2\} \quad d_{max} = \frac{3}{4} \max\{0, d_1, d_2\} \quad (3.7)$$

**Caso 2:**  $d_1 \leq 0$  e  $d_2 \geq 0$  Neste caso, os limites da Fat Line cobrem a seguinte região:

$$3t(1-t)^2 d_1 \leq d(t) \leq 3t^2(1-t) d_2 \quad (3.8)$$

Neste caso, derivando as expressões  $3t(1-t)^2$  e  $3t^2(1-t)$  de (3.8) e igualando a zero, é encontrado  $t = \frac{1}{3}$ . Assim, substituindo este valor de  $t$  em (3.8), podem ser usados os seguintes valores para  $d_{min}$  e  $d_{max}$ :

$$d_{min} = \frac{4}{9} \min\{0, d_1, d_2\} \quad (3.9)$$

$$d_{max} = \frac{4}{9} \max\{0, d_1, d_2\}$$

O caso cúbico é mostrado na Figura 3.8 (NISHITA ; SEDERBERG, 1990).

### 3.3.2 Funcionamento do algoritmo

Aqui, será mostrado o funcionamento para duas curvas cúbicas.

Sejam duas curvas de Bézier  $P(t)$  e  $Q(u)$  e uma *fat line*  $L$  que representa a fronteira de  $Q(u)$ . A Figura 3.9 mostra um exemplo.

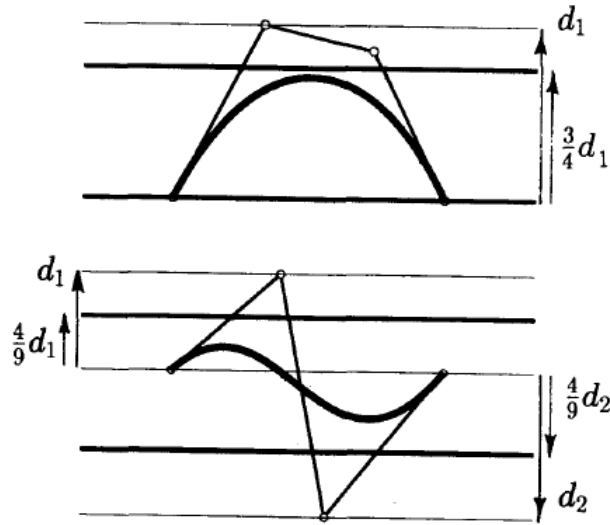


Figura 3.8: Fat Lines para curvas de Bézier cúbicas

Neste exemplo, dado por (NISHITA ; SEDERBERG, 1990), a curva de recorte inicial escolhida foi  $P(t)$ . As distâncias dos pontos de controle  $P_0, P_1, P_2, P_3$  de  $P(t)$  à reta dos extremos de  $Q(u)$  dadas neste exemplo são respectivamente  $d_0 = -5, d_1 = -1, d_2 = 2, d_3 = 3$ .

Além disso, a distância mínima dos pontos de controle de  $Q(u)$  à reta de seus extremos é dada por  $d_{min} = -2$  e a distância máxima é dada por  $d_{max} = 1$ .

$P(t)$  é definida pela equação paramétrica

$$P(t) = \sum_{i=0}^n P_i B_i^n(t)$$

A função  $d(t)$  é um polinômio na forma Bernstein-Bézier que faz a interpolação das distâncias dos pontos de controle da curva  $P(t)$  à reta dos extremos da curva  $Q(u)$  e pode ter a seguinte representação paramétrica:

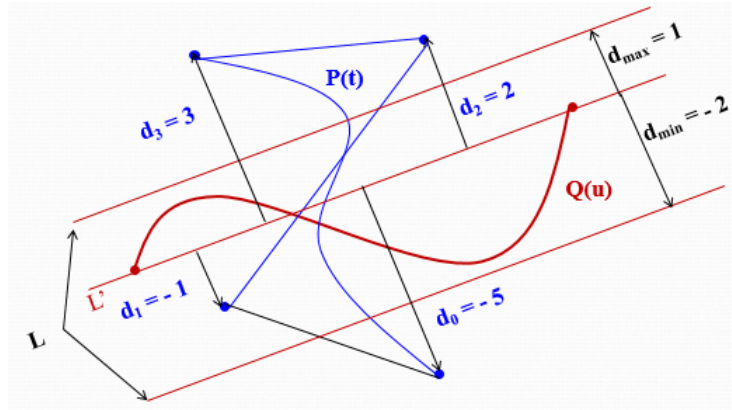


Figura 3.9: Fat Line para curva de Bézier cúbica  $Q(u)$  no processo de Bézier Clipping

$$D(t) = (t, d(t)) = \sum_{i=0}^n D_i B_i^n(t) \quad (3.10)$$

Nesta representação paramétrica, os pontos de controle  $D_i = (t_i, d_i)$  são igualmente espaçados em  $t$  ( $t_i = i/n$ ) de forma que  $\sum_{i=0}^n (i/n) B_i^n(t) = t[(1-t) + t]^n = t$ . Assim, a coordenada horizontal de qualquer ponto  $D(t)$  é de fato o parâmetro  $t$ .

A Figura 3.10 mostra a representação Bernstein-Bezier para interpolação das distâncias  $D_i$  (NISHITA ; SEDERBERG, 1990).

Agora, são feitos os seguintes cálculos para encontrar  $t_{min}$  e  $t_{max}$  no recorte da curva  $P(t)$ . Na Figura 3.10,  $t_{min}$  será a interseção do segmento  $D_0D_1$  com a reta  $d_{min} = -2$ , enquanto  $t_{max}$  será a interseção do segmento  $D_0D_3$  com a reta  $d_{max} = 1$ . Neste exemplo,  $t_{min} = 0.25$  e  $t_{max} = 0.75$ .

Os valores de  $t$  para os quais  $P(t)$  se encontra fora de  $L$  correspondem aos valores de  $t$  para os quais  $D(t)$  se encontra abaixo de  $d_{min}$  ou acima de  $d_{max}$ . Na Figura 3.10, tem-se que  $P(t)$  se encontra fora de  $L$  em  $t < 0.25$  e  $t > 0.75$ . Dessa

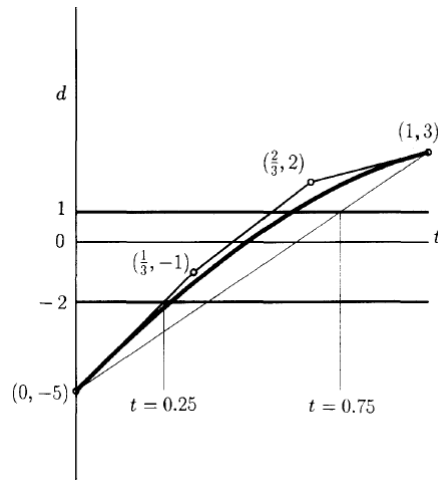


Figura 3.10: Curva de Bézier para representação Bernstein-Bézier de  $d(t)$

forma, chega-se à uma das etapas do algoritmo de Bézier Clipping, que é o recorte das partes da curva  $P(t)$  que ficarem nesses intervalos. Essas partes são descartadas de  $P(t)$ .

Após o recorte, uma fat line  $L$  será aplicada à curva  $P(t)$  no intervalo  $t \in [0.25, 0.75]$ . O próximo passo é aplicar o recorte da curva  $Q(u)$  através de  $P(t)$ , como mostra a Figura 3.11. Depois,  $P(t)$  terá um novo recorte contra  $Q(u)$  e assim alterna-se a curva de recorte sucessivamente.

## 3.4 Verificação de Interseções

### 3.4.1 Interseções múltiplas

No caso de múltiplas interseções, quando não há a possibilidade de se reduzir o intervalo de parâmetro da curva em que foi aplicado o recorte em pelo menos 20%, uma heurística sugerida por (NISHITA ; SEDERBERG, 1990) no algoritmo de

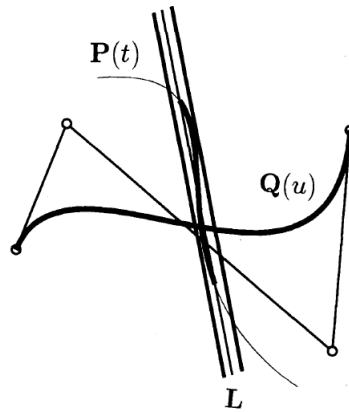


Figura 3.11: Segunda iteração do Bézier Clipping

Bézier Clipping é a seguinte: subdivide-se pela metade a curva com maior intervalo de parâmetro restante e interceptam-se suas sub-curvas resultantes com a curva de menor intervalo de parâmetro, como mostra a Figura 3.12.



Figura 3.12: (a) Duas interseções; (b) Resultado após a subdivisão de uma das curvas

### 3.4.2 Interseções simples

Para detectar interseções simples de duas curvas de Bézier, utiliza-se o critério do *retângulo delimitador* das curvas nos pontos máximo e mínimo. Este retângulo

delimitará a curva nos lados que correspondem, respectivamente, ao intervalo dos pontos de coordenadas horizontais mínima e máxima e ao intervalo dos pontos de coordenadas verticais mínima e máxima. (MARSH, 2005)

A detecção neste caso funciona da seguinte forma: quando os respectivos retângulos delimitadores das curvas não se sobrepõem, não há interseção. Caso contrário, as curvas podem se interceptar ou não.

O procedimento para verificação de existência de interseções entre duas curvas de Bézier através de um *retângulo delimitador* é descrito da seguinte forma: (HECKBERT, 1994)

---

**Algoritmo 1:** VerificaIntersecao ( $P, Q$ )

---

*% Procedimento que verifica se existem interseções simples entre duas curvas de Bézier  $P(t)$  e  $Q(u)$ , cujos pontos de controle são respectivamente da forma  $(x_P, y_P)$  e  $(x_Q, y_Q)$ .*

*%  $x_P$ : coordenada horizontal dos pontos de controle de  $P(t)$ .  
 %  $y_P$ : coordenada vertical dos pontos de controle de  $P(t)$ .  
 %  $x_Q$ : coordenada horizontal dos pontos de controle de  $Q(u)$ .  
 %  $y_Q$ : coordenada vertical dos pontos de controle de  $Q(u)$ .*

**se** ( $\min(x_P) \geq \max(x_Q)$ ) **ou** ( $\min(y_P) \geq \max(y_Q)$ ) **ou**  
 ( $\min(x_Q) \geq \max(x_P)$ ) **ou** ( $\min(y_Q) \geq \max(y_P)$ ) **então**  
 | Retorna 0;  
**senão**  
 | Retorna 1;  
**fim se**

---

## 4 CÁLCULO DE INTERSEÇÕES

Algumas definições que serão apresentadas a seguir são importantes para o cálculo das interseções de duas curvas algébricas planas.

### 4.1 Resultante

Uma curva é definida aqui como o conjunto de pontos em que uma função polinomial  $f : \mathbb{R}^2 \rightarrow \mathbb{R}$  é igual a zero. Sejam duas curvas definidas por  $f(x, y) = 0$  e  $g(x, y) = 0$ , representadas pelos seguintes polinômios na variável  $y$  e coeficientes no anel  $\mathbb{R}[x]$ :

$$f(x, y) = a_0(x)y^m + a_1(x)y^{m-1} + \dots + a_m(x) = 0$$

$$g(x, y) = b_0(x)y^n + b_1(x)y^{n-1} + \dots + b_n(x) = 0$$

A resultante de  $f, g$  em relação à variável  $x$  é definida pelo determinante da matriz de ordem  $(m+n)$  com  $n$  linhas formadas pelos coeficientes de  $f$  seguidas por  $m$  linhas formadas pelos coeficientes de  $g$ . Subentende-se que os espaços em branco são preenchidos com zeros (VAINSENCHE, 2009).

$$R_{f,g} = \begin{vmatrix} a_0 & a_1 & a_2 & \dots & a_m & & & & & \\ & a_0 & a_1 & \dots & & a_m & & & & \dots \\ \dots & \dots \\ & & & & \dots & a_0 & a_1 & \dots & & a_m \\ b_0 & b_1 & b_2 & \dots & b_n & & & & & \\ & b_0 & b_1 & \dots & & b_n & & & & \dots \\ \dots & \\ & & & & \dots & b_0 & b_1 & \dots & & b_n \end{vmatrix}$$

Uma observação importante é que a resultante de  $f, g$  pode ser calculada em relação à variável  $y$ , caso os polinômios estejam na variável  $x$  e os coeficientes no anel  $\mathbb{R}[y]$ .

**Exemplo** Calcular a resultante dos seguintes polinômios:

$$f(x, y) = x^2 + y^2 - 4$$

$$g(x, y) = xy - 1$$

Considerando os coeficientes no anel  $\mathbb{R}[x]$ , deve-se resolver o seguinte determinante:

$$R_{f,g} = \begin{vmatrix} 1 & 0 & x^2 - 4 \\ x & -1 & 0 \\ 0 & x & -1 \end{vmatrix}$$

Resolvendo-se esse determinante, encontra-se  $R_{f,g} = x^4 - 4x^2 + 1$ .

Para determinar os pontos de interseção de duas curvas algébricas planas  $f, g$ , basta realizar o cálculo  $R_{f,g} = 0$ , achar os valores de  $x$  e, em seguida, substituí-los em uma das equações para  $f$  ou  $g$ .

Neste exemplo, os pontos de interseção serão, com precisão de sete casas

decimais:

$$(1.9318517, 0.5176381); (0.5176381, 1.9318517);$$

$$(-1.9318517, -0.5176381); (-0.5176381, -1.9318517).$$

## 4.2 Teorema de Bézout

Dados dois polinômios  $f, g \in \mathbb{R}[x, y]$  e sejam os graus de  $f, g$  dados respectivamente por  $\text{grau}(f)$  e  $\text{grau}(g)$ . Se  $f, g$  não possuem fatores comuns, ou seja, se  $R_{f,g}$  não for igual a um polinômio identicamente nulo ( $R_{f,g} \neq 0$ ), então o número de interseções entre as curvas  $f, g$  é finito e, no máximo, igual a  $\text{grau}(f) \cdot \text{grau}(g)$  (COX ; LITTLE ; O'SHEA, 2007).

Observe que dois polinômios  $f, g$  não possuem fatores comuns se e somente se  $\text{mdc}(f, g) = 1$ . No exemplo visto na seção 4.1, como  $R_{f,g} = x^4 - 4x^2 + 1$ , ou seja,  $R_{f,g}$  não é um polinômio identicamente nulo, então, de acordo com o Teorema de Bézout, o número de interseções deve ser, no máximo, igual a  $\text{grau}(f) \cdot \text{grau}(g) = 2 \cdot 2 = 4$ .

## 4.3 Aproximação de curvas algébricas planas por curvas de Bézier

Para encontrar os pontos de controle referentes à aproximação de uma curva algébrica plana por uma curva de Bézier, há duas alternativas:

### 4.3.1 Parametrização com Elevação de Grau

Os passos para esta alternativa são os seguintes:

1. Encontrar as parametrizações da curva algébrica plana em função de um ângulo  $\theta$ , dadas por suas coordenadas  $x(\theta)$  e  $y(\theta)$ . A curva fica localizada no intervalo  $\theta \in [\theta_0, \theta_f]$ , onde  $\theta_0$  e  $\theta_f$  são notações para ângulos correspondentes aos pontos de controle inicial e final da curva, respectivamente.
2. Após a definição dos pontos extremos, definir um ponto intermediário na metade da curva, cujo ângulo é dado por  $\theta_{1/2} = \frac{\theta_0 + \theta_f}{2}$ .
3. Em seguida, fazer a aproximação por uma curva de Bézier quadrática  $P(t)$ , cuja parametrização é  $(x(t), y(t))$ ,  $t \in [0, 1]$ ,  $t \in \mathbb{R}$ . Assim, os pontos extremos serão:

$$P_0 = P(t = 0) = (x(\theta_0), y(\theta_0));$$

$$P_2 = P(t = 1) = (x(\theta_f), y(\theta_f));$$

O ponto intermediário da curva localizado em  $t = 0.5$  será dado por:

$$P(t = 0.5) = (x(\theta_{1/2}), y(\theta_{1/2}));$$

Assim, com os valores de  $P(0.5)$ ,  $P_0$  e  $P_2$ , o ponto de controle  $P_1$  é encontrado através das substituições desses valores na seguinte equação:

$$P(t = 0.5) = (1 - 0.5)^2 P_0 + 2(1 - 0.5)(0.5) P_1 + (0.5)^2 P_2$$

4. Ao final do passo anterior, deve-se encontrar a curva de grau 3  $\widehat{P}(t)$  através do processo de elevação de grau visto no capítulo 2. Aqui, são encontrados os pontos  $\widehat{P}_0, \widehat{P}_1, \widehat{P}_2, \widehat{P}_3$ .

### 4.3.2 Interpolação de curvas de Bézier

Com uma amostra de pontos  $V_0, V_1, \dots, V_n$  de uma curva algébrica plana num dado intervalo  $[a, b]$ , que possui  $n+1$  subintervalos igualmente espaçados de tamanho  $\frac{b-a}{n}$ , é possível fazer uma interpolação destes pontos através de uma curva de Bézier de grau  $n$  para encontrar os pontos de controle  $P_0, P_1, \dots, P_n$  da curva.

Para um determinado ponto  $V_i = (x_{V_i}, y_{V_i})$ , podemos fazer as seguintes interpolações em suas respectivas coordenadas:

$$B_0^n(t_i)x_{P_0} + \dots + B_n^n(t_i)x_{P_n} = x_{V_i}$$

$$B_0^n(t_i)y_{P_0} + \dots + B_n^n(t_i)y_{P_n} = y_{V_i}$$

Suponha que o intervalo seja  $[0, 1]$  e que  $n$  seja o número de subdivisões deste intervalo. Dessa forma, pode ser obtido o sistema linear  $MP = V$ , onde:

$$M = \begin{bmatrix} B_0^n\left(\frac{0}{n}\right) & B_1^n\left(\frac{0}{n}\right) & \dots & B_n^n\left(\frac{0}{n}\right) \\ B_0^n\left(\frac{1}{n}\right) & B_1^n\left(\frac{1}{n}\right) & \dots & B_n^n\left(\frac{1}{n}\right) \\ \dots & \dots & \dots & \dots \\ B_0^n\left(\frac{n}{n}\right) & B_1^n\left(\frac{n}{n}\right) & \dots & B_n^n\left(\frac{n}{n}\right) \end{bmatrix}$$

$$P = \begin{bmatrix} P_0 \\ P_1 \\ \dots \\ P_n \end{bmatrix}$$

$$V = \begin{bmatrix} V_0 \\ V_1 \\ \dots \\ V_n \end{bmatrix}$$

Então, para achar os pontos de controle, basta resolver o sistema  $P = M^{-1}V$ .

## 4.4 Exemplos de cálculo de interseções

Nos exemplos a seguir, os cálculos foram feitos a partir de programas desenvolvidos em Scilab versão 5.4.0. Os programas estão nos apêndices A, B, C, D.

### 4.4.1 Exemplo 1

Encontrar as interseções entre as curvas algébricas planas:

$$f(x, y) = x^2 - 4x + 4y^2 = 0$$

$$g(x, y) = x^2 - 8x + y^2 + 12 = 0$$

nos intervalos  $x \in [2, 4]$ , usando o algoritmo de Bézier Clipping.

Considerando os coeficientes no anel  $\mathbb{R}[x]$ , deve-se resolver o seguinte determinante para achar a resultante de  $f$  e  $g$ :

$$R_{f,g} = \begin{vmatrix} 4 & 0 & x^2 - 4x & 0 \\ 0 & 4 & 0 & x^2 - 4x \\ 1 & 0 & x^2 - 8x + 12 & 0 \\ 0 & 1 & 0 & x^2 - 8x + 12 \end{vmatrix}$$

Esse determinante resolvido no Scilab tem como resultado  $R_{f,g} = 2304 - 2688x + 1072x^2 - 168x^3 + 9x^4$ , que não é um polinômio identicamente nulo. Logo,

$\text{mdc}(f, g) = 1$  e assim, de acordo com o Teorema de Bézout,  $f$  e  $g$  não possuem fatores comuns. Logo,  $f$  e  $g$  possuem no máximo  $\text{grau}(f) \cdot \text{grau}(g) = 4$  interseções.

O número de interseções de  $f$  e  $g$  é igual a 2, como mostra a Figura 4.1, o que está de acordo com o Teorema de Bézout. Além disso, as interseções se localizam no intervalo  $x \in [2, 4]$ .

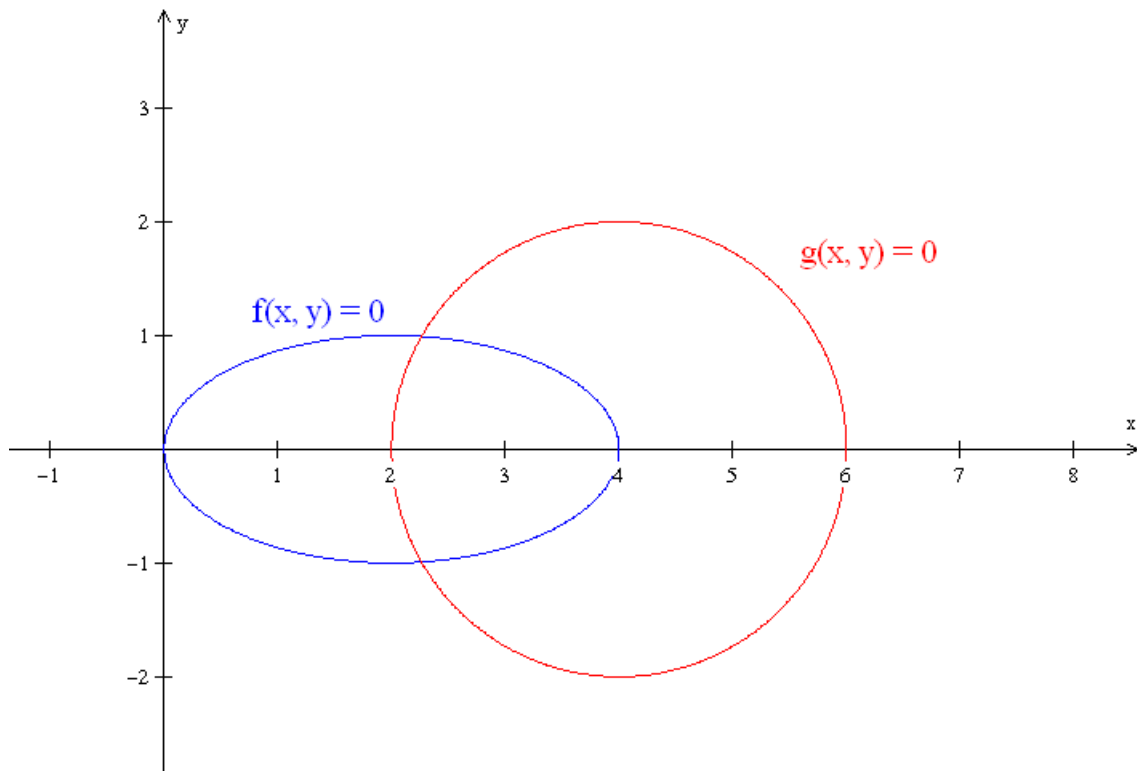


Figura 4.1: Gráfico do exemplo 1 com os pontos de controle no intervalo  $x \in [2, 4]$

Para localizar as interseções das curvas associadas às funções  $f$  e  $g$ , são realizados os seguintes experimentos:

#### 4.4.1.1 Experimento 1

a) *Parametrização com elevação de grau:*

Primeiro, a curva de equação  $f(x, y) = 0$ , representada por uma elipse de centro  $(2, 0)$ , será aproximada pela curva de Bézier  $P(t)$  quadrática no intervalo  $t \in [0, 1]$ , e a curva de equação  $g(x, y) = 0$ , representada por uma circunferência de raio 2 e centro  $(4, 0)$ , será aproximada pela curva de Bézier  $Q(u)$  no intervalo  $u \in [0, 1]$ .

Uma parametrização para  $f(x, y) = 0$  é:  $x(\theta) = 2 + 2\cos(\theta)$ ,  $y(\theta) = \sin(\theta)$ ,  $\theta \in [-\frac{\pi}{2}, \frac{\pi}{2}]$ .

Os pontos extremos da curva  $P(t)$ , que será a aproximação de  $f(x, y) = 0$  no intervalo  $t \in [0, 1]$ , ocorrem quando  $\theta_0 = -\frac{\pi}{2}$  e  $\theta_f = \frac{\pi}{2}$ .

Neste caso, os pontos extremos são:

$$P_0 = (x(\theta_0), y(\theta_0)) = (2, 1);$$

$$P_2 = (x(\theta_f), y(\theta_f)) = (2, -1).$$

O ponto intermediário da curva ocorre quando  $\theta_{1/2} = \frac{\theta_0 + \theta_f}{2} = 0$ .

Dessa forma, o ponto intermediário da curva ocorre quando:

$$P(0.5) = (x(\theta_{1/2}), y(\theta_{1/2})) = (4, 0).$$

Assim,

$$(4, 0) = P(0.5) = 0.25P_0 + 0.5P_1 + 0.25P_2$$

Substituindo os valores de  $P_0$  e  $P_2$ , é encontrado:

$$P_1 = (6, 0).$$

Para achar os pontos de controle para a curva de Bézier  $P(t)$ , com grau 3, usa-se a técnica de elevação de grau. Os novos pontos de controle, neste caso, serão dados por:

$$\widehat{P}_0 = P_0 = (2, 1);$$

$$\widehat{P}_1 = \frac{1}{3}P_0 + \frac{2}{3}P_1 = (4.6666667, 0.3333333);$$

$$\widehat{P}_2 = \frac{2}{3}P_1 + \frac{1}{3}P_2 = (4.6666667, -0.3333333);$$

$$\widehat{P}_3 = P_2 = (2, -1)$$

Agora, é a vez da curva  $Q(u)$ , que será a aproximação de  $g(x, y) = 0$  no intervalo  $u \in [0, 1]$ . Uma parametrização para esta curva é:  $x(\theta) = 4 + 2\cos(\theta)$ ,  $y(\theta) = 2\sin(\theta)$ ,  $\theta \in [\frac{\pi}{2}, \frac{3\pi}{2}]$ .

Os pontos extremos da curva ocorrem quando  $\theta_0 = \frac{\pi}{2}$  e  $\theta_f = \frac{3\pi}{2}$ .

Neste caso, os pontos extremos são:

$$Q_0 = (x(\theta_0), y(\theta_0)) = (4, 2);$$

$$Q_2 = (x(\theta_f), y(\theta_f)) = (4, -2).$$

O ponto intermediário da curva ocorre quando  $\theta_{1/2} = \frac{\theta_0 + \theta_f}{2} = \pi$ .

Dessa forma, o ponto intermediário da curva ocorre quando:

$$Q(0.5) = (x(\theta_{1/2}), y(\theta_{1/2})) = (2, 0).$$

Assim,

$$(2, 0) = Q(0.5) = 0.25Q_0 + 0.5Q_1 + 0.25Q_2$$

Substituindo os valores de  $Q_0$  e  $Q_2$ , é encontrado:

$$Q_1 = (0, 0).$$

Para achar os pontos de controle para a curva de Bézier  $Q(u)$ , com grau 3, usa-se a técnica de elevação de grau. Os novos pontos de controle, neste caso, serão dados por:

$$\widehat{Q}_0 = Q_0 = (4, 2);$$

$$\widehat{Q}_1 = \frac{1}{3}Q_0 + \frac{2}{3}Q_1 = (1.3333333, 0.6666667);$$

$$\widehat{Q}_2 = \frac{2}{3}Q_1 + \frac{1}{3}Q_2 = (1.3333333, -0.6666667);$$

$$\widehat{Q}_3 = Q_2 = (4, -2)$$

A Figura 4.2 mostra os gráficos das curvas originais e das curvas de Bézier aproximadas.

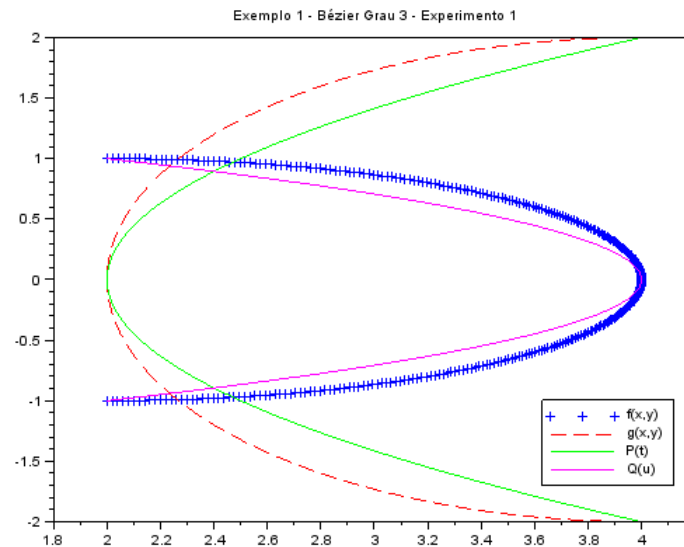


Figura 4.2: Curvas de Bézier  $P(t)$  e  $Q(u)$  no gráfico do exemplo 1

Portanto, já foram encontrados os pontos de controle para as curvas cúbicas  $P(t)$  e  $Q(u)$ .

*b) Aplicação do algoritmo de Bézier Clipping:*

No algoritmo de Bézier Clipping, deve-se escolher uma das curvas para inicialização. Como a escolha é arbitrária, aqui o algoritmo será inicializado através de  $Q(u)$ , para fazer o recorte da curva  $P(t)$ . As etapas a serem seguidas para o recorte são:

1. A *Fat Line* é a região que se situa entre os segmentos de reta paralelos que correspondem ao segmento dos pontos extremos da curva  $Q(u)$  e ao segmento por onde passa o ponto de controle intermediário com distância máxima (ou mínima) do segmento dos pontos extremos.

Os coeficientes  $a, b, c$  da reta dos extremos  $ax + by + c = 0$  será dada por:

$$a = y_0 - y_3 = 4$$

$$b = x_3 - x_0 = 0$$

$$c = x_0y_3 - x_3y_0 = -16$$

Portanto, a equação da reta que une os pontos extremos da curva será dada por:

$$4x - 16 = 0 \text{ ou } x - 4 = 0.$$

2. As distâncias dos pontos de controle intermediários à reta que conecta pontos extremos são dadas por:

$$d_1 = -2.6666667;$$

$$d_2 = -2.6666667;$$

No algoritmo de Bézier Clipping, conforme está descrito no capítulo 3, quando  $d_1d_2 > 0$ , as distâncias máxima e mínima são dadas por:

$$d_{min} = \frac{3}{4} \min(0, d_1, d_2) = \frac{3}{4}(-2.6666667) = -2$$

$$d_{max} = \frac{3}{4} \max(0, d_1, d_2) = 0$$

Logo, a Fat Line será a região localizada entre os segmentos de reta  $x - 4 = 0$  e  $x - 4 - d_{min} = x - 2 = 0$ .

3. Agora, é necessário calcular as distâncias dos pontos de controle da curva que vai ser recortada, no caso a curva  $P(t)$ , a reta que une os pontos extremos de  $Q(u)$ .

Neste caso, temos:

$$d_0 = -2; d_1 = 0.6666667; d_2 = 0.6666667; d_3 = -2.$$

Os valores dessas distâncias são interpolados através de uma curva de Bézier  $D(t)$ , de grau 3, cujos pontos de controle serão dados por:

$$(0, d_0), (1/3, d_1), (2/3, d_2), (1, d_3).$$

Assim,

$$D(t) = (1 - t)^3 d_0 + 3(1 - t)^2 t d_1 + 3(1 - t) t^2 d_2 + t^3 d_3.$$

4. Ao final da primeira iteração, realizam-se as interseções de  $D(t)$  com  $d_{min}$  e  $d_{max}$ .

As raízes de  $D(t) - d_{min} = 0$  são  $t = 0$  e  $t = 1$ .

As raízes de  $D(t) - d_{max} = 0$  são  $t = 0.4999441$  e  $t = 0.5000559$ .

Logo, os valores mínimo e máximo encontrados de  $t$  no intervalo  $[0, 1]$  são:

$$t_{min} = 0 \text{ e } t_{max} = 1.$$

Repare que o intervalo da curva  $P(t)$  não foi alterado. De acordo com a heurística de (NISHITA ; SEDERBERG, 1990) vista no capítulo 3, isto significa que não houve recorte na curva e quando isso acontece, existem interseções múltiplas. Neste exemplo, são duas interseções. Portanto, será necessário uma subdivisão das curvas  $P(t)$  e  $Q(u)$ .

As novas subdivisões de  $P(t)$  serão dadas por  $P_1(t)$  e  $P_2(t)$ , enquanto as novas subdivisões de  $Q(u)$  serão dadas por  $Q_1(u)$  e  $Q_2(u)$ .

A curva  $P_1(t)$  é uma aproximação de  $f(x, y) = 0$  quando as parametrizações da curva algébrica são dadas por:  $x(\theta) = 2 + 2\cos(\theta)$ ,  $y(\theta) = \sin(\theta)$ ,  $\theta \in [0, \frac{\pi}{2}]$ .

Os pontos extremos da curva  $P_1(t)$  ocorrem quando  $\theta_0 = \frac{\pi}{2}$  e  $\theta_f = 0$ . Já os pontos extremos da curva  $P_2(t)$  ocorrem quando  $\theta_0 = \frac{-\pi}{2}$  e  $\theta_f = 0$ .

Repetindo-se o processo visto anteriormente, os seguintes pontos de controle são encontrados:

Para  $P_1(t)$ :

$$P_0 = (2, 1);$$

$$P_1 = (3.2189515, 0.9428091);$$

$$P_2 = (3.8856181, 0.6094757);$$

$$P_3 = (4, 0).$$

Para  $P_2(t)$ :

$$P_0 = (2, -1);$$

$$P_1 = (3.2189515, -0.9428091);$$

$$P_2 = (3.8856181, -0.6094757);$$

$$P_3 = (4, 0).$$

Os pontos extremos da curva  $Q_1(u)$  ocorrem quando  $\theta_0 = \pi$  e  $\theta_f = \frac{\pi}{2}$ . Já os pontos extremos da curva  $Q_2(u)$  ocorrem quando  $\theta_0 = \pi$  e  $\theta_f = \frac{3\pi}{2}$ .

Analogamente,

Para  $Q_1(u)$ :

$$Q_0 = (2, 0);$$

$$Q_1 = (2.1143819, 1.2189515);$$

$$Q_2 = (2.7810485, 1.8856181);$$

$$Q_3 = (4, 2).$$

Para  $Q_2(u)$ :

$$Q_0 = (2, 0);$$

$$Q_1 = (2.1143819, -1.2189515);$$

$$Q_2 = (2.7810485, -1.8856181);$$

$$Q_3 = (4, -2).$$

Agora, o algoritmo de Bézier Clipping é aplicado para  $P_1(t)$  e  $Q_1(u)$ . O gráfico do programa em Scilab para essas curvas é mostrado na figura 4.3. O código está listado no apêndice B.

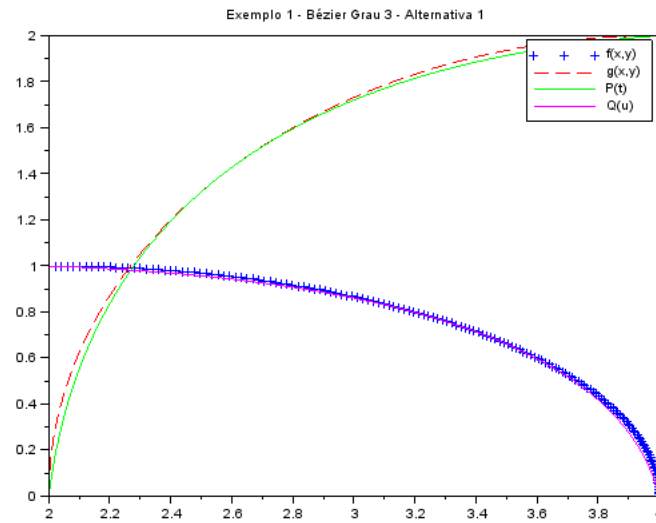


Figura 4.3: Gráfico do exemplo 1 nos intervalos  $x \in [2, 4]$  e  $y \geq 0$ .

Começando o algoritmo pela curva  $Q_1(u)$ , tem-se:

1. Para a *Fat Line*:

Os coeficientes  $a, b, c$  da reta dos extremos  $ax + by + c = 0$  será dada por:

$$a = y_0 - y_3 = -2$$

$$b = x_3 - x_0 = 2$$

$$c = x_0y_3 - x_3y_0 = 4$$

Portanto, a equação da reta que une os pontos extremos da curva será dada por:

$$-2x + 2y + 4 = 0 \text{ ou } -x + y + 2 = 0.$$

2. As distâncias dos pontos de controle intermediários são dadas por:

$$d_1 = 0.7810487;$$

$$d_2 = 0.7810487;$$

No algoritmo de Bézier Clipping, quando  $d_1 d_2 > 0$ , o cálculo das distâncias máxima e mínima são dadas por:

$$d_{min} = \frac{3}{4} \min(0, d_1, d_2) = 0$$

$$d_{max} = \frac{3}{4} \max(0, d_1, d_2) = \frac{3}{4}(0.7810487) = 0.5857865$$

Logo, a Fat Line será a região localizada entre os segmentos de reta  $-x + y + 2 = 0$  e  $-x + y + 2 - d_{max} = -x + y - 1.4142135 = 0$ .

3. Agora, é necessário calcular as distâncias dos pontos de controle da curva que vai ser recortada, no caso a curva  $P_1(t)$ , a reta que une os pontos extremos de  $Q_1(u)$ .

Neste caso, temos:

$$d_0 = 0.7071068; d_1 = -0.1952622; d_2 = -0.9023689; d_3 = -1.4142136.$$

Os valores dessas distâncias são interpolados através de uma curva de Bézier  $D_1(t)$ , de grau 3, cujos pontos de controle serão dados por:

$$(0, d_0), (1/3, d_1), (2/3, d_2), (1, d_3).$$

Assim,

$$D_1(t) = (1-t)^3 d_0 + 3(1-t)^2 t d_1 + 3(1-t) t^2 d_2 + t^3 d_3.$$

4. Ao final da primeira iteração, realizam-se as interseções de  $D_1(t)$  com  $d_{min}$  e  $d_{max}$ .

$$\text{A raiz de } D_1(t) - d_{min} = 0 \text{ é } t = 0.2779173.$$

$$\text{A raiz de } D_1(t) - d_{max} = 0 \text{ é } t = 0.0452587.$$

Logo, os valores mínimo e máximo encontrados de  $t$  no intervalo  $[0, 1]$  são:

$$t_{min} = 0.0452587 \text{ e } t_{max} = 0.2779173.$$

Substituindo estes valores na equação da curva  $P_1(t)$ , tem-se:

$$P_1(t = 0.0452587) = (0.21621107, 0.9905379);$$

$$P_1(t = 0.2779173) = (0.28883309, 0.8883309)$$

Logo, a curva  $Q_1(u)$  faz um recorte em  $P(t)$  nos pontos  $(0.21621107, 0.9905379)$  e  $(0.28883309, 0.8883309)$ , o que significa que uma das interseções, em  $y \geq 0$ , se encontra entre os valores máximo e mínimo para a coordenada horizontal nesses pontos.

Depois, repete-se o algoritmo aplicando o recorte de  $Q_1(u)$  através de  $P_1(t)$ , em seguida de  $P_1(t)$  através de  $Q_1(u)$ , e assim sucessivamente, alternando as curvas de recorte até que a execução do algoritmo pare segundo uma determinada tolerância.

A Tabela 4.1 mostra os resultados para quatro iterações. O tempo de execução verificado no Scilab foi de 10.054 segundos. A solução analítica, encontrada através do cálculo da resultante no Scilab, é  $(2.2629657, 0.9913184)$ . O código do programa em Scilab que gera os cálculos está no apêndice B.

Tabela 4.1: Exemplo 1 - Resultados para quatro iterações do Bézier Clipping

Iteração	Pontos extremos	Erro
1	$(2.1621110, 0.9905379); (2.888331, 0.8883309)$	0.625365200
2	$(2.2663630, 0.9758657); (2.274207, 0.9907314)$	0.015452740
3	$(2.2696290, 0.9820734); (2.269638, 0.9820726)$	0.009245844
4	$(2.2696290, 0.9820733); (2.269629, 0.9820733)$	0.009245062

Uma observação importante: para todos os exemplos, foi utilizada a norma do máximo para o cálculo do erro.

*c) Aplicações da subdivisão recursiva de De Casteljou e da subdivisão intervalar:*

A seguir, as tabelas 4.2 e 4.3 mostram os resultados para dez iterações dos pontos extremos obtidos para as sub-curvas de  $P(t)$  e  $Q(u)$  com os métodos de subdivisão recursiva de De Casteljou e subdivisão intervalar de Koparkar e Mudur, os quais coincidiram neste exemplo. O tempo de execução verificado no Scilab foi de 0.511 segundos. Os códigos para os programas que geraram os cálculos estão nos apêndices C e D.

Tabela 4.2: Exemplo 1 - Iterações para  $P(t)$  - De Casteljou e Intervalar

Iteração	Pontos extremos de P(t)	Erro
1	(2.0000000,1.0000000);(3.414214,0.7071068)	1.1512483
2	(2.0000000,1.0000000);(2.810660,0.9053300)	0.5476943
3	(2.0000000,1.0000000);(2.431220,0.9656090)	0.2629657
4	(2.2220800,0.9860410);(2.431220,0.9656090)	0.1682543
5	(2.2220800,0.9860410);(2.275580,0.9815400)	0.0408857
6	(2.2489300,0.9838410);(2.275580,0.9815400)	0.0140357
7	(2.2622800,0.9827030);(2.275580,0.9815400)	0.0126143
8	(2.2622800,0.9827030);(2.268940,0.9821240)	0.0091944
9	(2.2622800,0.9827030);(2.265610,0.9824140)	0.0089044
10	(2.2622800,0.9827030);(2.263950,0.9825590)	0.0087594

Tabela 4.3: Exemplo 1 - Iterações para  $Q(u)$  - De Casteljaou e Intervalar

Iteração	Pontos extremos de $Q(u)$	Erro
1	(2.0000000,0.0000000);(2.5857860,1.4142140)	0.9913184
2	(2.1893400,0.8106602);(2.5857860,1.4142140)	0.4228956
3	(2.1893400,0.8106602);(2.3616750,1.1383250)	0.1806582
4	(2.1893400,0.8106602);(2.2690350,0.9809648)	0.1806582
5	(2.2275690,0.8974305);(2.2690350,0.9809648)	0.0938879
6	(2.2478980,0.9396022);(2.2690350,0.9809648)	0.0517162
7	(2.2583650,0.9603846);(2.2690350,0.9809648)	0.0309338
8	(2.2583650,0.9603846);(2.2636750,0.9707000)	0.0309338
9	(2.2610140,0.9655486);(2.2636750,0.9707000)	0.0257698
10	(2.2623430,0.9681259);(2.2636750,0.9707000)	0.0231925

#### 4.4.1.2 Experimento 2

##### a) Interpolação das curvas de Bézier de grau 3:

Agora, as interseções entre as curvas  $P(t)$  e  $Q(u)$  serão calculadas através da segunda alternativa da seção 4.3, cujo objetivo é realizar a interpolação dos pontos das curvas  $f(x, y) = 0$  e  $g(x, y) = 0$  através das respectivas curvas de Bézier cúbicas  $P(t)$  e  $Q(u)$ .

O intervalo na coordenada horizontal será dividido em número de subintervalos equidistantes, cuja quantidade corresponde ao grau da curva de Bézier aproximada. Neste exemplo, o intervalo  $[2, 4]$  será dividido em 3 partes.

Então, a matriz  $M$  das funções de base de Bernstein, os vetores  $VPX, VPY$ , correspondentes aos valores de  $x$  e  $y$  na equação  $f(x, y) = 0$ , e os vetores  $VQX, VQY$ , correspondentes aos valores de  $x$  e  $y$  na equação  $g(x, y) = 0$ , descritos na seção 4.3.2, neste exemplo serão dados por:

$$\begin{aligned}
M &= \begin{bmatrix} B_0^3(0) & B_1^3(0) & B_2^3(0) & B_3^3(0) \\ B_0^3(\frac{1}{3}) & B_1^3(\frac{1}{3}) & B_2^3(\frac{1}{3}) & B_3^3(\frac{1}{3}) \\ B_0^3(\frac{2}{3}) & B_1^3(\frac{2}{3}) & B_2^3(\frac{2}{3}) & B_3^3(\frac{2}{3}) \\ B_0^3(1) & B_1^3(1) & B_2^3(1) & B_3^3(1) \end{bmatrix} = \\
&= \begin{bmatrix} 1 & 0 & 0 & 0 \\ 0.2962963 & 0.4444444 & 0.2222222 & 0.0370370 \\ 0.0370370 & 0.2222222 & 0.4444444 & 0.2962963 \\ 0 & 0 & 0 & 1 \end{bmatrix} \\
VPX &= \begin{bmatrix} VPX_0 \\ VPX_1 \\ VPX_2 \\ VPX_3 \end{bmatrix} = \begin{bmatrix} 2 \\ 8/3 \\ 10/3 \\ 4 \end{bmatrix} = \begin{bmatrix} 2 \\ 2.6666667 \\ 3.3333333 \\ 4 \end{bmatrix}
\end{aligned}$$

Ao substituir os valores de  $VPX$  na coordenada  $x$  da equação  $f(x, y) = 0$ , é obtido:

$$\begin{aligned}
VPY &= \begin{bmatrix} VPY_0 \\ VPY_1 \\ VPY_2 \\ VPY_3 \end{bmatrix} = \begin{bmatrix} 1 \\ 0.9428090 \\ 0.7453560 \\ 0 \end{bmatrix} \\
VQX &= \begin{bmatrix} VQX_0 \\ VQX_1 \\ VQX_2 \\ VQX_3 \end{bmatrix} = \begin{bmatrix} 2 \\ 8/3 \\ 10/3 \\ 4 \end{bmatrix} = \begin{bmatrix} 2 \\ 2.6666667 \\ 3.3333333 \\ 4 \end{bmatrix}
\end{aligned}$$

Ao substituir os valores de  $VQX$  na coordenada  $x$  da equação  $g(x, y) = 0$ , é obtido:

$$VQY = \begin{bmatrix} VQY_0 \\ VQY_1 \\ VQY_2 \\ VQY_3 \end{bmatrix} = \begin{bmatrix} 0 \\ 1.4907120 \\ 1.8856181 \\ 2 \end{bmatrix}$$

Para os pontos de controle de  $P(t)$ , usaremos para as coordenadas horizontais

e verticais os vetores  $PX$  e  $PY$ , cujos cálculos são feitos a partir dos seguintes sistemas lineares:

$$M(PX) = VPX \Rightarrow PX = M^{-1}(VPX) \Rightarrow PX = \begin{bmatrix} 2 \\ 2.6666667 \\ 3.3333333 \\ 4 \end{bmatrix}$$

$$M(PY) = VPY \Rightarrow PY = M^{-1}(VPY) \Rightarrow PY = \begin{bmatrix} 1 \\ 0.8770598 \\ 1.1551877 \\ 0 \end{bmatrix}$$

Analogamente, para os pontos de controle de  $Q(u)$ , usaremos para as coordenadas horizontais e verticais os vetores  $QX$  e  $QY$ , cujos cálculos são feitos a partir dos seguintes sistemas lineares:

$$M(QX) = VQX \Rightarrow QX = M^{-1}(VQX) \Rightarrow QX = \begin{bmatrix} 2 \\ 2.6666667 \\ 3.3333333 \\ 4 \end{bmatrix}$$

$$M(QY) = VQY \Rightarrow QY = M^{-1}(VQY) \Rightarrow QY = \begin{bmatrix} 0 \\ 2.3103755 \\ 1.7541196 \\ 2 \end{bmatrix}$$

Portanto, os pontos de controle usados neste caso serão:

Para a curva  $P(t)$ :  $P_0 = (2, 1)$ ;

$P_1 = (2.6666667, 0.8770598)$ ;

$P_2 = (3.3333333, 1.1551877)$ ;

$P_3 = (4, 0)$ .

Para a curva  $Q(u)$ :  $Q_0 = (2, 0)$ ;  
 $Q_1 = (2.6666667, 2.3103755)$ ;  
 $Q_2 = (3.3333333, 1.7541196)$ ;  
 $Q_3 = (4, 2)$ .

O gráfico para o comparativo entre as curvas originais e as curvas de Bézier de grau 3 geradas neste experimento são mostrados na Figura 4.4

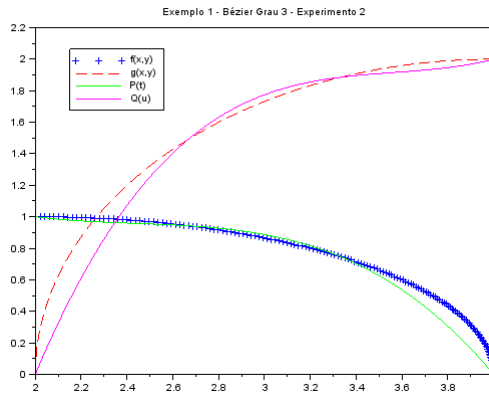


Figura 4.4: Gráfico para o experimento 2 do exemplo 1 nos intervalos  $x \in [2, 4]$  e  $y \geq 0$ .

*b) Aplicação do Bézier Clipping:*

Aplicando o algoritmo de Bézier Clipping aos pontos anteriores, são encontradas as iterações que estão na Tabela 4.4. O tempo de execução verificado no Scilab foi de 9.543 segundos.

Deve-se observar que no caso em que a curva de Bézier possui grau 3, o algoritmo de Bézier Clipping executado através dos pontos de controle originais obtidos pela interpolação de Bézier apresentou erros absolutos máximos maiores que os vistos com parametrização e elevação de grau.

Tabela 4.4: Exemplo 1 - Iterações para Bézier Clipping usando Interpolação de Bézier da Seção 4.3 e Curva de Bézier de grau 3

Iteração	Pontos extremos	Curva	Erro
1	(2.2521710,0.7445511);(3.0775940,1.8117480)	$P(t)$	0.8204299
2	(2.2330210,0.9704604);(2.3936070,0.9600343)	$Q(u)$	0.1306411
3	(2.3533160,0.9428743);(2.4171010,1.0491940)	$P(t)$	0.1541355
4	(2.3642120,0.9616593);(2.3647500,0.9616289)	$Q(u)$	0.1017844
5	(2.3615240,0.9568654);(2.3722070,0.9748305)	$P(t)$	0.1092415
6	(2.3643630,0.9616508);(2.3643700,0.9616504)	$Q(u)$	0.1014042
7	(2.3638890,0.9608505);(2.3653070,0.9632363)	$P(t)$	0.1023415
8	(2.3643650,0.9616507);(2.3643650,0.9616507)	$Q(u)$	0.1013992
9	(2.3643140,0.9615651);(2.3644520,0.9617977)	$P(t)$	0.1014865
10	(2.3643650,0.9616507);(2.3643650,0.9616507)	$Q(u)$	0.1013991

#### 4.4.1.3 Experimento 3

##### a) Interpolação de curvas de Bézier de grau 9

Se os pontos da curva original forem interpolados com uma curva de Bézier de grau 9, os resultados irão convergir para a solução analítica com erros absolutos máximos menores que os vistos para a curva de grau 3. Evidentemente, quanto maior o grau, maior será o número de pontos na interpolação e conseqüentemente melhor será a aproximação da curva.

Os pontos de controle usados neste caso serão:

Para a curva  $P(t)$ :

$$P_0 = (2, 1);$$

$$P_1 = (2.2222222, 0.9815233);$$

$$P_2 = (2.4444444, 1.0622518);$$

$$P_3 = (2.6666667, 0.7713426);$$

$$P_4 = (2.8888889, 1.2489973);$$

$$P_5 = (3.1111111, 0.3946336);$$

$$P_6 = (3.3333333, 1.2881787);$$

$$P_7 = (3.5555556, 0.2043762);$$

$$P_8 = (3.7777778, 0.8701008);$$

$$P_9 = (4, 0).$$

Para a curva  $Q(u)$ :

$$Q_0 = (2, 0);$$

$$Q_1 = (2.2222222, 1.7402016);$$

$$Q_2 = (2.4444444, 0.4087525);$$

$$Q_3 = (2.6666667, 2.5763574);$$

$$Q_4 = (2.8888889, 0.7892673);$$

$$Q_5 = (3.1111111, 2.4979946);$$

$$Q_6 = (3.3333333, 1.5426852);$$

$$Q_7 = (3.5555556, 2.1245036);$$

$$Q_8 = (3.7777778, 1.9630467);$$

$$Q_9 = (4, 2).$$

O gráfico para o comparativo entre as curvas originais e as curvas de Bézier de grau 9 nos intervalos dados são mostrados na Figura 4.5

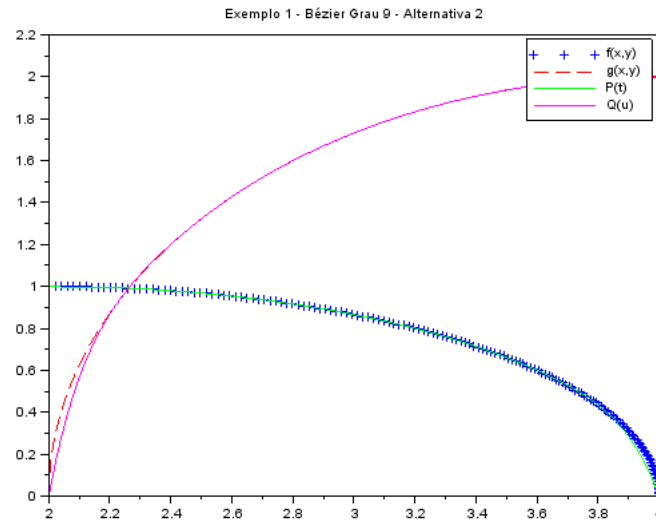


Figura 4.5: Gráfico do exemplo 1 nos intervalos  $x \in [2, 4]$  e  $y \geq 0$ .

*b) Aplicação do Bézier Clipping:*

Os resultados do algoritmo de Bézier Clipping para interpolação através de uma curva de Bézier de grau 9 são mostrados na tabela 4.5. O tempo de execução verificado no Scilab foi de 37.305 segundos.

Tabela 4.5: Exemplo 1 - Iterações para Bézier Clipping usando Interpolação de Bézier da Seção 4.3 e Curva de Bézier de grau 9

Iteração	Pontos extremos	Curva	Erro
1	(2.1140560,0.6192522);(3.3032300,1.8747840)	$P(t)$	1.040265000
2	(2.1018140,0.9967448);(2.4842670,0.9701483)	$Q(u)$	0.221300800
3	(2.2153170,0.9016344);(2.4549860,1.2698230)	$P(t)$	0.278505000
4	(2.2512900,0.9923145);(2.2739960,0.9909161)	$Q(u)$	0.011675900
5	(2.2595660,0.9887561);(2.2734730,1.0133980)	$P(t)$	0.022079710
6	(2.2611440,0.9917321);(2.2612440,0.9917260)	$Q(u)$	0.001821836
7	(2.2612060,0.9917210);(2.2612420,0.9917863)	$P(t)$	0.001759686
8	(2.2612100,0.9917280);(2.2612100,0.9917280)	$Q(u)$	0.001755815
9	(2.2612100,0.9917280);(2.2612100,0.9917284)	$P(t)$	0.001755815

c) *Aplicação da subdivisão recursiva de De Casteljaou e da subdivisão intervalar:*

Agora, os resultados para Subdivisão Recursiva de De Casteljaou nas Tabelas 4.6 e 4.7, cujo tempo de execução verificado foi de 0.98 segundos:

Tabela 4.6: Exemplo 1 - Iterações para  $P(t)$  - Subdivisão Recursiva de De Casteljaou para curva de grau 9

Iteração	Pontos extremos de $P(t)$	Erro
1	(2.0000000,1.0000000);(3.0000000,0.8659385)	0.7370343
2	(2.0000000,1.0000000);(2.5000000,0.9681276)	0.2629657
3	(2.2500000,0.9923879);(2.5000000,0.9681276)	0.2370343
4	(2.2500000,0.9923879);(2.3750000,0.9825049)	0.1120343
5	(2.2500000,0.9923879);(2.3125000,0.9881072)	0.0495343
6	(2.2500000,0.9923879);(2.2812500,0.9904279)	0.0182843
7	(2.2500000,0.9923879);(2.2656250,0.9914547)	0.0129657
8	(2.2578130,0.9919332);(2.2656250,0.9914547)	0.0051532
9	(2.2617190,0.9916969);(2.2656250,0.9914547)	0.0026593
10	(2.2617190,0.9916969);(2.2636720,0.9915765)	0.0012470

Tabela 4.7: Exemplo 1 - Iterações para  $Q(u)$  - Subdivisão Recursiva de De Casteljaou para curva de grau 9

Iteração	Pontos extremos de $Q(u)$	Erro
1	(2.0000000,0.0000000);(3.0000000,1.7318770)	0.9913184
2	(2.0000000,0.0000000);(2.5000000,1.3222020)	0.9913184
3	(2.2500000,0.9711243);(2.5000000,1.3222020)	0.3308837
4	(2.2500000,0.9711243);(2.3750000,1.1678520)	0.1765339
5	(2.2500000,0.9711243);(2.3125000,1.0773050)	0.0859865
6	(2.2500000,0.9711243);(2.2812500,1.0267100)	0.0353919
7	(2.2500000,0.9711243);(2.2656250,0.9996296)	0.0201941
8	(2.2578130,0.9855676);(2.2656250,0.9996296)	0.0083112
9	(2.2617190,0.9926447);(2.2656250,0.9996296)	0.0083112
10	(2.2617190,0.9926447);(2.2636720,0.9961485)	0.0048301

Agora, os resultados para Subdivisão Intervalar para curva de Bézier de grau 9 nas Tabelas 4.8 e 4.9:

Tabela 4.8: Exemplo 1 - Iterações para  $P(t)$  - Subdivisão Intervalar para curva de grau 9

Iteração	Pontos extremos de $P(t)$	Erro
1	(2.0000000,1.0000000);(2.3333333,0.9878335)	0.2629657
2	(2.1666670,0.9973865);(2.3333333,0.9878335)	0.0962990
3	(2.2500000,0.9962363);(2.3333333,0.9878335)	0.0703676
4	(2.2500000,0.9962363);(2.2916670,0.9932863)	0.0287010
5	(2.2604170,0.9956957);(2.2708330,0.9950311)	0.0078676
6	(2.2604170,0.9956957);(2.2656250,0.9953796)	0.0043773
7	(2.2604170,0.9956957);(2.2630210,0.9955416)	0.0043773
8	(2.2617190,0.9956197);(2.2630210,0.9955416)	0.0043013
9	(2.2623700,0.9955809);(2.2630210,0.9955416)	0.0042625
10	(2.2626950,0.9955613);(2.2630210,0.9955416)	0.0042429

Tabela 4.9: Exemplo 1 - Iterações para  $Q(u)$  - Subdivisão Intervalar para curva de grau 9

Iteração	Pontos extremos de $Q(u)$	Erro
1	(2.0000000,0.0000000);(2.3333333,1.1279020)	0.9913184
2	(2.1666667,0.8318840);(2.3333333,1.1279020)	0.1594344
3	(2.2500000,1.0083760);(2.3333333,1.1279020)	0.1365841
4	(2.2500000,1.0083760);(2.2916670,1.0704480)	0.0791291
5	(2.2500000,1.0083760);(2.2708330,1.0405900)	0.0492721
6	(2.2604170,1.0248530);(2.2708330,1.0405900)	0.0492721
7	(2.2604170,1.0248530);(2.2656250,1.0328050)	0.0414865
8	(2.2604170,1.0248530);(2.2630210,1.0288510)	0.0375326
9	(2.2617190,1.0268580);(2.2630210,1.0288510)	0.0375326
10	(2.2623700,1.0278560);(2.2630210,1.0288510)	0.0375326

#### 4.4.2 Exemplo 2

Encontrar as interseções entre as curvas algébricas planas:

$$f(x, y) = x^2 + 4y^2 - 4 = 0$$

$$g(x, y) = x^{15} + 3x^{10}y^2 + 3x^5y^4 + y^6 - 1 = 0$$

nos intervalos  $x \in [-0.5, 0]$ ,  $y \geq 0$ .

No cálculo analítico, a resultante  $R_{f,g}$  fica:

$$R_{f,g} = \begin{vmatrix} 1 & 0 & x^2 + 4x & 0 & 0 & 0 & 0 & 0 \\ 0 & 1 & 0 & x^2 + 4x & 0 & 0 & 0 & 0 \\ 0 & 0 & 1 & 0 & x^2 + 4x & 0 & 0 & 0 \\ 0 & 0 & 0 & 1 & 0 & x^2 + 4x & 0 & 0 \\ 0 & 0 & 0 & 0 & 1 & 0 & x^2 + 4x & 0 \\ 0 & 0 & 0 & 0 & 0 & 1 & 0 & x^2 + 4x \\ 1 & 0 & 3x^5 & 0 & 3x^{10} & 0 & x^{15} - 1 & 0 \\ 0 & 1 & 0 & 3x^5 & 0 & 3x^{10} & 0 & x^{15} - 1 \end{vmatrix}$$

Como  $R_{f,g} = 1 + 128x^3 + 96x^4 + 24x^5 + 4098x^6 + 6048x^7 + 3792x^8 + 1274x^9 - 5904x^{10} - 7632x^{11} - 3833x^{12} - 960x^{13} + 3720x^{14} + 3832x^{15} + 1440x^{16} + 240x^{17} - 1265x^{18} - 960x^{19} - 240x^{20} - 20x^{21} + 240x^{22} + 120x^{23} + 15x^{24} - 24x^{26} - 6x^{27} + x^{30}$ , ou seja, não é um polinômio identicamente nulo, então  $\text{mdc}(f, g) = 1$  e assim, de acordo com o Teorema de Bézout,  $f$  e  $g$  não possuem fatores comuns. Logo,  $f$  e  $g$  possuem no máximo  $\text{grau}(f) \cdot \text{grau}(g) = 2 \cdot 15 = 30$  interseções.

O número de interseções de  $f$  e  $g$  é igual a 4, como mostra a Figura 4.6, o que está de acordo com o Teorema de Bézout.

Resolvendo-se a equação  $R_{f,g} = 0$ , são encontradas as seguintes soluções analíticas:

$$(1.1848949, 1.8263635); (1.1848949, -1.8263635);$$

$$(-0.2683510, 1.0006956); (-0.2683510, -1.0006956).$$

Para as soluções numéricas através dos algoritmos do capítulo 3, foram realizados os seguintes experimentos:

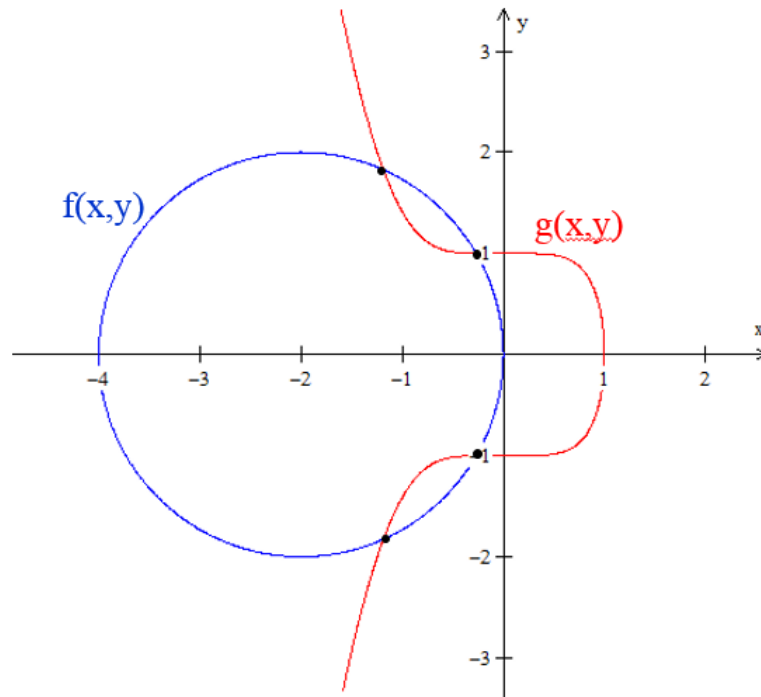


Figura 4.6: Gráfico do exemplo 2

#### 4.4.2.1 Experimento

##### a) Parametrização com elevação de grau:

Deve-se aproximar primeiro a função  $f$ , que é uma circunferência, no intervalo dado por uma curva de Bézier  $P(t), 0 \leq t \leq 1$ , de grau 2, e em seguida, por uma curva de Bézier de grau 3.

Deve-se levar em consideração que a curva não altera sua concavidade no intervalo dado. Por isso, foi possível a aproximação inicial pela curva de Bézier de grau 2.

Uma parametrização para  $f$  é:  $x(\theta) = 2\cos(\theta) - 2$ ,  $y(\theta) = 2\sin(\theta)$ .

Os pontos extremos da curva ocorrem quando  $\theta_0 = 0.7227342$  e  $\theta_1 \approx 0$ .

Neste caso, os pontos extremos da curva de grau 2 são:  $P_0 = (-0.5, 1.3228756)$  e  $P_2 = (0, 0)$ .

A metade da curva ocorre quando  $\theta = \frac{1}{2}(\theta_0 + \theta_1) \approx 0.3613671$ .

Neste caso,  $x(\theta = 0.3613671) = -0.1291713$ ,  $y(\theta = 0.3613671) = 0.7071067$ .

Então,  $P(t = 0.5) = (-0.1291713, 0.7071067)$ .

Para encontrar  $P_1$ , basta resolver a seguinte equação para curva de Bézier de grau 2 quando  $t = 0.5$ :

$$P(t = 0.5) = 0.25(-0.5, 1.3228756) + 0.5P_1 + 0.25(0, 0)$$

Assim, os pontos encontrados para curva de Bézier de grau 2 são:

$$P_0 = (-0.5, 1.3228756); P_1 = (-0.0083426, 0.7527756); P_2 = (0, 0).$$

Para achar os pontos para curva de Bézier de grau 3, usa-se a técnica de elevação de grau, onde os novos pontos serão dados segundo a equação:

$$P_i = \left(\frac{i}{n+1}\right) P_{i-1} + \left(1 - \frac{i}{n+1}\right) P_i, 1 \leq i \leq n,$$

onde  $n$  é o grau anterior da curva.

Neste exemplo,  $n = 3$ .

Usando essa técnica, achamos os seguintes pontos de controle de grau 3 para  $P(t)$ :

$$P_0 = (-0.5, 1.3228756); P_1 = (-0.1722284, 0.9428089);$$

$$P_2 = (-0.0055617, 0.5018504), P_3 = (0, 0).$$

Para a função  $g$ , os pontos extremos de uma curva de Bézier  $Q(u)$  associada de grau 2 ocorrem em  $Q_0 = (-0.5, 1.0155048)$  e  $Q_1 = (0, 1)$ .

Na metade do intervalo  $x \in [-0.5, 1]$ , ou seja, quando escolhe-se como candidato  $x = -0.25$ , encontra-se o ponto central  $Q_1 = (-0.25, 1.0004882)$ .

Analogamente ao que foi feito na curva  $P(t)$ , os pontos de controle encontrados para  $Q(u)$  por elevação para o grau 3 são:

$$Q_0 = (-0.5, 1.0155048); Q_1 = (-0.3333333, 1.0054896);$$

$$Q_2 = (-0.1666667, 1.0003213), Q_3 = (0, 1).$$

A Figura 4.7 mostra os gráficos plotados no Scilab para o exemplo:

*b) Aplicação de Bézier Clipping de grau 3:*

A Tabela 4.10 mostra os resultados para três iterações e eles convergem para a solução analítica  $(-0.2683510, 1.0006956)$ . O tempo de execução verificado foi de 10.313 segundos.

*c) Aplicações da subdivisão recursiva de De Casteljau e da subdivisão inter-*

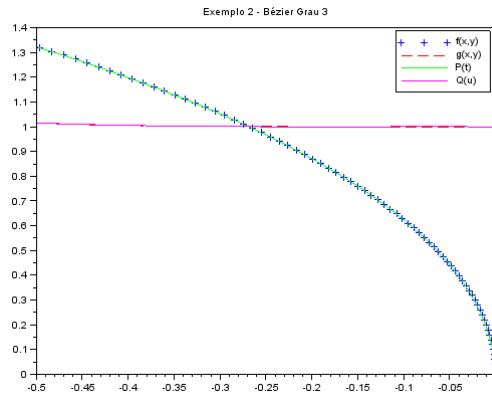


Figura 4.7: Gráfico do exemplo 2 no intervalo  $x \in [-0.5, 0]$  e  $y \geq 0$ .

Tabela 4.10: Exemplo 2 - Resultados para três iterações do Bézier Clipping

Iteração	Pontos extremos	Erro
1	$(-0.3795637, 1.004231); (-0.239927, 1.0001390)$	0.1112127
2	$(-0.2693283, 1.001000); (-0.2687349, 0.999981)$	0.0009773
3	$(-0.2690087, 1.000451); (-0.2690086, 1.000451)$	0.0006577

*valar:*

A seguir, as Tabelas 4.11 e 4.12 mostram os resultados para dez iterações dos pontos extremos obtidos para as sub-curvas de  $P(t)$  e  $Q(u)$  com os métodos de subdivisão recursiva de De Casteljaou e subdivisão intervalar de Koparkar e Mudur, os quais coincidiram neste exemplo.

Tabela 4.11: Exemplo 2 - Iterações para  $P(t)$  - De Casteljaou e Intervalar

Iteração	Pontos extremos de $P(t)$	Erro
1	(-0.500000,1.322880);(-0.129171,0.707107)	0.3221844
2	(-0.284378,1.026410);(-0.129171,0.707107)	0.2935886
3	(-0.284378,1.026410);(-0.199223,0.869612)	0.1310836
4	(-0.284378,1.026410);(-0.239913,0.948724)	0.0519716
5	(-0.284378,1.026410);(-0.261674,0.987744)	0.0257144
6	(-0.272908,1.007120);(-0.261674,0.987744)	0.0066770
7	(-0.272908,1.007120);(-0.267261,0.997444)	0.0064244
8	(-0.270077,1.002290);(-0.267261,0.997444)	0.0032516
9	(-0.268668,0.999865);(-0.267261,0.997444)	0.0032516
10	(-0.268668,0.999865);(-0.267964,0.998655)	0.0020406

Tabela 4.12: Exemplo 2 - Iterações para  $Q(u)$  - De Casteljaou e Intervalar

Iteração	Pontos extremos de $Q(u)$	Erro
1	(-0.500000,1.015500);(-0.250000,1.004120)	0.231649
2	(-0.375000,1.008900);(-0.250000,1.004120)	0.106649
3	(-0.312500,1.006280);(-0.250000,1.004120)	0.044149
4	(-0.281250,1.005140);(-0.250000,1.004120)	0.018351
5	(-0.281250,1.005140);(-0.265625,1.004620)	0.012899
6	(-0.273437,1.004880);(-0.265625,1.004620)	0.005086
7	(-0.269531,1.004750);(-0.265625,1.004620)	0.004054
8	(-0.269531,1.004750);(-0.267578,1.004680)	0.004054
9	(-0.268555,1.004710);(-0.267578,1.004680)	0.004014
10	(-0.268555,1.004710);(-0.268066,1.004700)	0.004014

Até aqui, foram tratadas as funções polinomiais  $f : \mathbb{R}^2 \rightarrow \mathbb{R}$ . O próximo exemplo mostra como estes algoritmos podem ser também utilizados para o cálculo de raízes reais de funções não necessariamente polinomiais  $f : \mathbb{R} \rightarrow \mathbb{R}$ .

#### 4.4.3 Exemplo 3

Resolver a equação  $\text{sen}(x) = e^{-x}$  no intervalo  $[0, \pi/4]$ .

#### 4.4.3.1 Experimento

Aqui, foi usada a parametrização com elevação de grau e posterior aplicação dos algoritmos vistos no capítulo 3.

##### a) Parametrização com elevação de grau:

Aqui, as funções  $f(x) = \text{sen}(x)$  e  $g(x) = e^{-x}$  são aproximadas no intervalo  $[0, \pi/4]$  por suas respectivas curvas de Bézier de grau 3,  $P(t), 0 \leq t \leq 1$ , e  $Q(u), 0 \leq u \leq 1$ . Depois, usando os mesmos procedimentos do Exemplo 1, os seguintes pontos de controle são encontrados:

##### Curva $P(t)$ :

$$P_0 = (0, 0); P_1 = (0.2617994, 0.2745423);$$

$$P_2 = (0.5235988, 0.5102445); P_3 = (0.7853982, 0.7071068).$$

##### Curva $Q(u)$ :

$$Q_0 = (0, 1); Q_1 = (0.2617994, 0.7483298);$$

$$Q_2 = (0.5235988, 0.5669758); Q_3 = (0.7853982, 0.4559381).$$

O gráfico deste exemplo desenhado com o Scilab 5.4.0 pode ser visto na Figura 4.8.

##### b) Aplicação dos algoritmos de interseção:

As Tabelas 4.13, 4.14 e 4.15 a seguir mostram os resultados para o Exemplo 3. O algoritmo de Bézier Clipping foi executado em 12.169 segundos. Há conver-

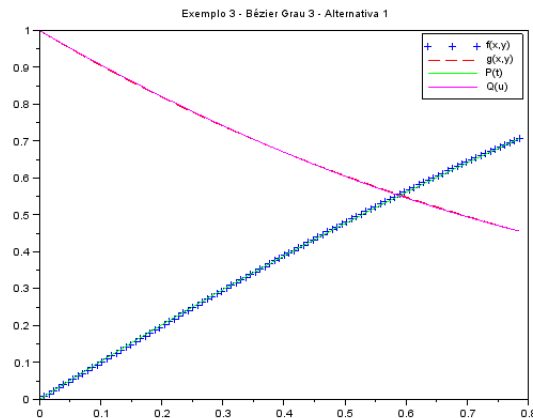


Figura 4.8: Gráfico do exemplo 3 no intervalo  $x \in [0, 1]$ .

gência para a solução analítica (0.58853, 0.55514):

Tabela 4.13: Exemplo 3 - Resultados para duas iterações do Bézier Clipping

Iteração	Pontos extremos	Erro
1	(0.5842148,0.5551080);(0.6042325,0.5440004)	0.0200177
2	(0.5891215,0.5522378);(0.5891433,0.5522558)	0.0000218

Tabela 4.14: Exemplo 3 - Iterações para  $P(t)$  - Subdivisão de De Casteljau e Intervalar

Iteração	Pontos extremos de $P(t)$	Erro
1	(0.392699,0.382683);(0.785398,0.707107)	0.196868
2	(0.392699,0.382683);(0.589049,0.552178)	0.195831
3	(0.490874,0.469251);(0.589049,0.552178)	0.097656
4	(0.539961,0.511170);(0.589049,0.552178)	0.048569
5	(0.564505,0.531787);(0.589049,0.552178)	0.024025
6	(0.576777,0.542011);(0.589049,0.552178)	0.013129
7	(0.582913,0.547101);(0.589049,0.552178)	0.008039
8	(0.585981,0.549641);(0.589049,0.552178)	0.005499
9	(0.587515,0.550910);(0.589049,0.552178)	0.004230
10	(0.588282,0.551544);(0.589049,0.552178)	0.003596

Tabela 4.15: Exemplo 3 - Iterações para  $Q(u)$  - Subdivisão de De Casteljau e Intervalar

Iteração	Pontos extremos de $Q(u)$	Erro
1	(0.392699,0.675232);(0.785398,0.455938)	0.196868
2	(0.392699,0.675232);(0.589049,0.552401)	0.195831
3	(0.490874,0.610520);(0.589049,0.552401)	0.097656
4	(0.539961,0.580636);(0.589049,0.552401)	0.048569
5	(0.564505,0.566313);(0.589049,0.552401)	0.024025
6	(0.576777,0.559305);(0.589049,0.552401)	0.011753
7	(0.582913,0.555840);(0.589049,0.552401)	0.005617
8	(0.585981,0.554117);(0.589049,0.552401)	0.002739
9	(0.587515,0.553258);(0.589049,0.552401)	0.002739
10	(0.588282,0.552829);(0.589049,0.552401)	0.002739

Às vezes, ao resolver um sistema de equações não lineares pelo método de Newton-Raphson, quando a raiz está suficientemente próxima de pontos onde a derivada da curva se anula, o determinante da matriz jacobiana se anula e as iterações do método não convergem para a raiz.

O próximo exemplo vai mostrar que, neste caso, os algoritmos de interseções vistos nesse trabalho possuem maior eficiência que o método de Newton-Raphson.

#### 4.4.4 Exemplo 4

Encontrar as interseções entre as curvas planas:

$$f(x, y) = e^{x-1} - y - 1 = 0;$$

$$g(x, y) = x - y - 1 = 0;$$

no intervalo  $x \in [1, 2]$ ,  $y \geq 0$ .

No método de Newton-Raphson, a matriz jacobiana  $J$  é:

$$J = \begin{bmatrix} e^{x-1} & -1 \\ 1 & -1 \end{bmatrix}$$

A interseção entre as curvas na solução analítica é o ponto  $(1, 0)$ . Quando  $x$  se aproxima de 1, a determinante de  $J$  se aproxima de zero e o método de Newton-Raphson não converge para a solução.

#### 4.4.4.1 Experimento

a) *Interpolação de curvas de Bézier de grau 9:*

Usando a Interpolação por curvas de Bézier de grau 9 da Interpolação de Bézier da Seção 4.3.2, os seguintes pontos de controle são encontrados:

Para a curva  $P(t)$ , aproximação de  $f(x, y) = 0$ :

$$P_0 = (1.0000000, 0.0000000);$$

$$P_1 = (1.1111111, 0.1111111);$$

$$P_2 = (1.2222222, 0.2361111);$$

$$P_3 = (1.3333333, 0.3769841);$$

$$P_4 = (1.4444444, 0.5360450);$$

$$P_5 = (1.5555556, 0.7160053);$$

$$P_6 = (1.6666667, 0.9200562);$$

$$P_7 = (1.7777778, 1.1519731);$$

$$P_8 = (1.8888889, 1.4162505);$$

$$P_9 = (2.0000000, 1.7182818).$$

Para a curva  $Q(u)$ , aproximação de  $g(x, y) = 0$ :

$$Q_0 = (1.0000000, 0.0000000);$$

$$Q_1 = (1.1111111, 0.1111111);$$

$$Q_2 = (1.2222222, 0.2222222);$$

$$Q_3 = (1.3333333, 0.3333333);$$

$$Q_4 = (1.4444444, 0.4444444);$$

$$Q_5 = (1.5555556, 0.5555556);$$

$$Q_6 = (1.6666667, 0.6666667);$$

$$Q_7 = (1.7777778, 0.7777778);$$

$$Q_8 = (1.8888889, 0.8888889);$$

$$Q_9 = (2.0000000, 1.0000000).$$

O gráfico deste exemplo desenhado com o Scilab 5.4.0 pode ser visto na Figura 4.9.

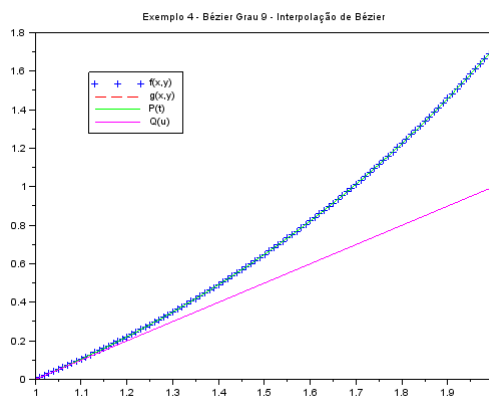


Figura 4.9: Gráfico do exemplo 4 no intervalo  $x \in [1, 2]$ .

*b) Aplicação de Bézier Clipping:*

Os resultados do algoritmo de Bézier Clipping para interpolação através de uma curva de Bézier de grau 9 são mostrados na tabela 4.16. O tempo de execução verificado foi de 42.584 segundos.

Tabela 4.16: Exemplo 4 - Iterações para Bézier Clipping usando Interpolação de Bézier da Seção 4.3 e Curva de Bézier de grau 9

Iteração	Pontos extremos	Curva	Erro
1	(1,0);(1.3321760,0.3321756000)	$P(t)$	0.3321756000
2	(1,0);(1.0003970,0.0003969348)	$Q(u)$	0.0003969348
3	(1,0);(1.0001100,0.0001102475)	$P(t)$	0.0001102475
4	(1,0);(1.0000440,4.409674e-005)	$Q(u)$	4.409674e-005
5	(1,0);(1.0000120,1.225385e-005)	$P(t)$	1.225385e-005
6	(1,0);(1.0000050,4.940473e-006)	$Q(u)$	4.940473e-006
7	(1,0);(1.0000020,1.522426e-006)	$P(t)$	1.522426e-006
8	(1,0);(1.0000010,7.612166e-007)	$Q(u)$	7.612166e-007
9	(1,0);(1.0000010,7.891473e-007)	$P(t)$	7.891473e-007

*c) Aplicação da subdivisão recursiva de De Casteljau e da subdivisão intervalar:*

O tempo de execução verificado foi de 0.786 segundos. Os resultados neste caso estão nas Tabelas 4.17 e 4.18:

Tabela 4.17: Exemplo 4 - Iterações para  $P(t)$  - Subdivisão Recursiva de De Casteljaeu para curva de grau 9

Iteração	Pontos extremos de $P(t)$	Erro
1	(1,0);(1.5,0.6487213)	0.6487213
2	(1,0);(1.25,0.2840254)	0.2840254
3	(1,0);(1.125,0.1331485)	0.1331485
4	(1,0);(1.0625,0.06449446)	0.06449446
5	(1,0);(1.03125,0.03174341)	0.03174341
6	(1,0);(1.015625,0.01574771)	0.01574771
7	(1,0);(1.007812,0.007843097)	0.007843097
8	(1,0);(1.003906,0.003913889)	0.003913889
9	(1,0);(1.001953,0.001955034)	0.001955034
10	(1,0);(1.000977,0.0009770395)	0.0009770395

Tabela 4.18: Exemplo 4 - Iterações para  $Q(u)$  - Subdivisão Recursiva de De Casteljaeu para curva de grau 9

Iteração	Pontos extremos de $Q(u)$	Erro
1	(1.0000000,0.0000000);(1.5000000,0.5000000)	0.5000000
2	(1.0000000,0.0000000);(1.2500000,0.2500000)	0.2500000
3	(1.0000000,0.0000000);(1.1250000,0.1250000)	0.1250000
4	(1.0000000,0.0000000);(1.0625000,0.0625000)	0.0625000
5	(1.0000000,0.0000000);(1.0312500,0.0312500)	0.0312500
6	(1.0000000,0.0000000);(1.0156250,0.0156250)	0.0156250
7	(1.0000000,0.0000000);(1.0078120,0.0078125)	0.0078125
8	(1.0000000,0.0000000);(1.0039060,0.00390625)	0.00390625
9	(1.0000000,0.0000000);(1.0019530,0.001953125)	0.001953125
10	(1.0000000,0.0000000);(1.0009770,0.0009770395)	0.0009770395

Agora, os resultados para Subdivisão Intervalar para curva de Bézier de grau 9 nas Tabelas 4.19 e 4.20:

Tabela 4.19: Exemplo 4 - Iterações para  $P(t)$  - Subdivisão Intervalar para curva de grau 9

Iteração	Pontos extremos de $P(t)$	Erro
1	(1.0000000,0.0000000);(2.0000000,1.7182818)	1.7182818
2	(1.0000000,0.0000000);(1.1666667,0.1773313)	0.1773313
3	(1.0000000,0.0000000);(1.0833333,0.0859685)	0.0859685
4	(1.0000000,0.0000000);(1.0416667,0.04232158)	0.04232158
5	(1.0000000,0.0000000);(1.0208333,0.02099658)	0.02099658
6	(1.0000000,0.0000000);(1.0104170,0.01045742)	0.01045742
7	(1.0000000,0.0000000);(1.0052080,0.005218513)	0.005218513
8	(1.0000000,0.0000000);(1.0026040,0.002606711)	0.002606711
9	(1.0000000,0.0000000);(1.0013020,0.001302719)	0.001302719
10	(1.0000000,0.0000000);(1.0006510,0.0006512006)	0.0006512006

Tabela 4.20: Exemplo 4 - Iterações para  $Q(u)$  - Subdivisão Intervalar para curva de grau 9

Iteração	Pontos extremos de $Q(u)$	Erro
1	(1.0000000,0.0000000);(2.0000000,1.0000000)	1.0000000
2	(1.0000000,0.0000000);(1.1666667,0.1666667)	0.1666667
3	(1.0000000,0.0000000);(1.0416667,0.04166667)	0.0416667
4	(1.0000000,0.0000000);(1.0208333,0.02083333)	0.0208333
5	(1.0000000,0.0000000);(1.0104170,0.01041667)	0.0104167
6	(1.0000000,0.0000000);(1.0052080,0.005208333)	0.0052083
7	(1.0000000,0.0000000);(1.0026040,0.002604167)	0.0026042
8	(1.0000000,0.0000000);(1.0013020,0.001302083)	0.0013021
9	(1.0000000,0.0000000);(1.0006510,0.0006510417)	0.0006510
10	(1.0000000,0.0000000);(1.0003260,0.0003255208)	0.0003260

## 5 CONCLUSÕES

Aqui, serão apresentadas as considerações sobre a convergência dos algoritmos vistos neste trabalho e as vantagens e desvantagens sobre outros métodos para localização de raízes de equações.

### 5.1 Convergência dos algoritmos

Através dos resultados encontrados nos experimentos realizados neste trabalho, nota-se que o algoritmo de Bézier Clipping, apesar de consumir menos iterações que os demais sob uma determinada precisão, apresentou um tempo de execução maior. Em contrapartida, os algoritmos de Subdivisão Recursiva de De Casteljaeu e Subdivisão Intervalar obtiveram um tempo de execução menor e custaram mais iterações para se aproximarem da solução analítica, já que a cada iteração a norma máxima do erro decai pela metade, o que confirma a convergência linear destes dois últimos métodos. Segundo (SCHULZ, 2009), foi comprovado que o método de Bézier Clipping de (NISHITA ; SEDERBERG, 1990) possui convergência quadrática.

Nas tabelas 5.1 e 5.2, para o exemplo 1 do capítulo 4, são mostrados os valores mínimo e máximo dos parâmetros de cada curva e seus respectivos erros absolutos durante as iterações do algoritmo de Bézier Clipping mostrando que a convergência é quadrática.

Tabela 5.1: Valores mínimo e máximo do parâmetro para Bézier Clipping usando Alternativa 2 da Seção 4.3 e Curva de Bézier de grau 9

Iteração	Curva de recorte	Parâmetro	Valor mínimo	Valor máximo
1	$Q(u)$	$u$	0.0452587	0.2779173
2	$P(t)$	$t$	0.3105570	0.3162347
3	$Q(u)$	$u$	0.1478380	0.1478508
4	$P(t)$	$t$	0.4344906	0.4344906

Tabela 5.2: Erros para os valores mínimo e máximo do parâmetro para Bézier Clipping usando Alternativa 2 da Seção 4.3 e Curva de Bézier de grau 9

Iteração	Curva de recorte	Erro absoluto
1	$Q(u)$	0.2326586
2	$P(t)$	0.0056775
3	$Q(u)$	1.2487298e-05
4	$P(t)$	1.7439412e-09

## 5.2 Principais contribuições

As principais contribuições deste trabalho são:

- O método numérico proposto aqui, através das curvas de Bézier, torna-se mais interessante do que o método analítico para localizar os pontos de interseção entre duas curvas algébricas planas se elas forem representadas por funções polinomiais de grau bastante elevado. Se os polinômios trabalhados tiverem um grau bastante elevado, o cálculo da resultante fica muito custoso. Além disso, também é muito custoso encontrar as suas raízes para determinar os pontos de interseção.
- Os algoritmos discutidos neste trabalho apresentam vantagem sobre o método de Newton-Raphson para sistemas não lineares quando a matriz jacobiana é singular neste método, de modo que não há convergência para a solução do problema, como foi visto no exemplo 4 do capítulo 4.

### 5.3 Trabalhos futuros

Uma melhoria que precisa ser feita é o procedimento de verificação de interseções simples, já que a utilização de *Bounding Box* ou de fechos convexos como regiões para cobrir as curvas de Bézier não funciona em todos os casos para detectar se duas curvas  $f(x, y) = 0$  e  $g(x, y) = 0$  se interceptam. É diferente do que acontece com as funções de uma variável que possuem forma explícita  $y = f(x)$ . Neste caso, a aplicação do Teorema do Valor Intermediário é capaz de detectar se duas curvas se interceptam para todas as funções de uma variável.

Outra melhoria para o algoritmo de Bézier Clipping foi encontrada no artigo (LOU ; LIU, 2012), onde ao invés da utilização de uma *fat line*, foi utilizada uma *fat curve*, que é uma região que se aproxima muito mais da curva. Essa técnica foi denominada *Hybrid Clipping*.

Além disso, um paralelismo aplicado aos algoritmos descritos neste trabalho pode reduzir seu tempo de execução, especialmente no Bézier Clipping, cujos estágios desde a formação da *fat line* até o final de cada iteração demandam bastante tempo de execução, conforme os experimentos mostrados.

## REFERÊNCIAS

BUSS, S. **3-D Computer graphics** : a mathematical introduction with OpenGL. New York: Cambridge University Press, 2003.

COX, D. ; LITTLE, J. ; O'SHEA, D. **Ideals, varieties, and algorithms** : an introduction to computational algebraic geometry and commutative algebra. Estados Unidos: Springer, 2007.

HECKBERT, P. **Graphics gems IV**. Estados Unidos: Academic Press, 1994. (The Graphic Gems Series).

LENGYEL, E. **Mathematics for 3D game programming and computer graphics**. Massachusetts: Charles River Media, 2004.

LOU, Q. ; LIU, L. Curve intersection using hybrid clipping. **Computers & graphics**, Guildford, Eng., v. 36, p.309–320, 2012.

MARSH, D. **Applied geometry for computer graphics and CAD**. Estados Unidos: Springer, 2005. (Springer Undergraduate Mathematics Series).

NISHITA, T. ; SEDERBERG, T. Curve intersection using Bézier clipping. **Computer-Aided Design**, Guildford, Eng., v. 22, n.9, p.538–549, Nov. 1990.

ROGERS, D. **An introduction to NURBS with historical perspective**. San Francisco: Academic Press, 2001.

SCHULZ, C. Bézier clipping is quadratically convergent. **Computer-Aided Design**, Guildford, Eng., v. 26, n.1, p.61–74, 2009.

SEDERBERG, T. ; PARRY, S. Comparison of three curves intersection algorithms. **Computer-Aided Design**, Guildford, Eng., v. 18, n.1, p.58–63, Jan. 1986.

VAINSENER, I. **Introdução às curvas algébricas planas**. Rio de Janeiro - Brasil: IMPA, 2009. (Coleção Matemática Universitária).

# APÊNDICE A

## CÓDIGO FONTE: `BibliotecaFuncoesBezier.sce`

```

1
2
3
4 //Polinomio de Bernstein
5 //parametros de entrada: grau da curva (n),
6 //                          i (varia de 0 a n),
7 //                          parametro s (varia no intervalo [
8 //                          xinicial,xfinal]),
9 //                          xinicial, xfinal (extremos do
10 //                          intervalo da curva).
11 function [Bern] = B(n, i, s, xinicial, xfinal)
12
13     Bern = factorial(n)/(factorial(n-i)*factorial(i))*((xfinal -
14         s)/(xfinal - xinicial))^(n-i)*((s-xinicial)/(xfinal-
15         xinicial))^i;
16
17 endfunction
18
19 //Derivada do polinomio de Bernstein
20 function [BernDer] = derB(n, i, s, xinicial, xfinal)
21
22     if (s == xinicial) then
23         t = toc(); // numero de segundos desde a ultima
24             chamada a funcao tic()
25         printf("Tempo de execucao: %g segundos\n", t);
26         pause;
27     end
28
29     BernDer = factorial(n)/(factorial(n-i)*factorial(i)) * (((
30         n-i)*((xfinal-s)/(xfinal-xinicial))^(n-i-1))*(-1/(
31         xfinal-xinicial))*((s-xinicial)/(xfinal-xinicial))^(i)
32         +((xfinal-s)/(xfinal-xinicial))^(n-i)*(i)*((s-xinicial)
33         /(xfinal-xinicial))^(i-1)*(1/(xfinal-xinicial)));
34
35 endfunction

```

```

27
28 // Polinomio de Bernstein com incognita %s
29 function [Bernlog] = Blog(n, i, xinicial, xfinal)
30
31     Bernlog = factorial(n)/(factorial(n-i)*factorial(i))*((
        xfinal - %s)/(xfinal - xinicial))^(n-i)*((%s-xinicial)/(
        xfinal-xinicial))^i;
32
33 endfunction
34
35 //Reta dos pontos extremos da curva
36 //Coordenadas horizontais dos extremos: XInicial, XFinal
37 //Coordenadas verticais dos extremos: YInicial, YFinal
38 function [a, b, c] = RetaExtremos(XInicial, XFinal, YInicial,
        YFinal)
39
40     a = YInicial - YFinal; //printf("A == %.10g\n", a);
41     b = XFinal - XInicial;
42     c = XInicial * YFinal - XFinal * YInicial;
43
44 endfunction
45
46 //Distancia de um ponto (x,y) a reta ax + by + c = 0.
47 function [d] = Dist(x, y, a, b, c)
48
49     d = (a * x + b * y + c) / sqrt (a^2 + b^2);
50
51 endfunction
52
53 // Novos pontos de controle a partir dos novos parametros smin
    e smax da curva a cada iteracao:
54 function [X,Y] = NovosPontosControleV2(XI,YI,smin,smax,n)
55
56
57     sinicial = 0;
58     sfinal = 1;
59
60     X = zeros(1,n+1);
61
62     xmin = 0; xmax = 0; ymin = 0; ymax = 0;
63     der_xmin = 0; der_xmax = 0; der_ymin = 0; der_ymax = 0;
64
65

```

```

66 if (n == 3) then
67
68     for i = 1:(n+1)
69
70
71         xmin = xmin + XI(i) * B(n, i-1, smin, sinicial, sfinal
72             );
73         xmax = xmax + XI(i) * B(n, i-1, smax, sinicial, sfinal
74             );
75         ymin = ymin + YI(i) * B(n, i-1, smin, sinicial, sfinal
76             );
77         ymax = ymax + YI(i) * B(n, i-1, smax, sinicial, sfinal
78             );
79
80         der_xmin = der_xmin + XI(i) * derB(n, i-1, smin,
81             sinicial, sfinal);
82         der_xmax = der_xmax + XI(i) * derB(n, i-1, smax,
83             sinicial, sfinal);
84         der_ymin = der_ymin + YI(i) * derB(n, i-1, smin,
85             sinicial, sfinal);
86         der_ymax = der_ymax + YI(i) * derB(n, i-1, smax,
87             sinicial, sfinal);
88
89     end
90
91     norma_min = norm([der_xmin der_ymin]);
92     norma_max = norm([der_xmax der_ymax]);
93
94     der_xmin = der_xmin/norma_min;
95     der_ymin = der_ymin/norma_min;
96     der_xmax = der_xmax/norma_max;
97     der_ymax = der_ymax/norma_max;
98
99     //Novos pontos de controle:
100
101     //Primeiro, os intermediarios:
102     X(2) = xmin + ((xmax - xmin)/3)*der_xmin;
103     X(3) = xmax - ((xmax - xmin)/3)*der_xmax;
104
105     Y(2) = ymin + ((xmax - xmin)/3)*der_ymin;
106     Y(3) = ymax - ((xmax - xmin)/3)*der_ymax;
107
108     //Depois, os extremos:

```

```

101     X(1) = xmin;
102     Y(1) = ymin;
103
104     X(n+1) = xmax;
105     Y(n+1) = ymax;
106
107 end
108
109 if (n > 3) then
110
111     VX = zeros(n+1,1);
112     VY = VX;
113     M = zeros(n+1, n+1);
114
115     for i = 1:(n+1)
116         for j = 1:(n+1)
117             M(i,j) = B(n, j-1, smin + (smax - smin
118                 )*(i-1)/n, smin, smax);
119             VX(i) = VX(i) + XI(j) * B(n, j-1, smin
120                 + (smax - smin)*(i-1)/n, sinicial,
121                 sfinal);
122             VY(i) = VY(i) + YI(j) * B(n, j-1, smin
123                 + (smax - smin)*(i-1)/n, sinicial,
124                 sfinal);
125
126         end
127     end
128
129     X = inv(M) * VX;
130     Y = inv(M) * VY;
131
132 end
133
134 endfunction
135
136 // Bezier Clipping Versao 1 (calcula as raizes de polinomios
137 // usando a incognita %s e a funcao roots do Scilab)
138 function[umin,umax,u1,u2,dmin,dmax,H1,H2,XQN,YQN] =
139     BezierClippingV1(XP,YP,XQ,YQ,xinicial,xfinal,yinicial,
140     yfinal,n)
141
142 [a,b,c] = RetaExtremos(xinicial,xfinal,yinicial,yfinal
143     );

```

```

135
136     if (a == 0 | b == 0) then
137         printf("Distancia proxima de zero!, a == %g\n", a)
138         ;
139         abort;
140     end
141
142     //Distancias dos pontos interiores da curva 1 a reta
143     //que une seus extremos:
144     dint = zeros(1,n-1);
145
146     for i = 2:n
147         dint(i) = Dist(XP(i), YP(i), a, b, c);
148     end
149
150     //Calculo das distancias dmin e dmax:
151
152     if (n == 3) then
153         if (dint(2) * dint(3) > 0) then
154             dmin = (3/4) * min(dint);
155             dmax = (3/4) * max(dint);
156         end
157         if (dint(2) * dint(3) <= 0) then
158             dmin = (4/9) * min(dint);
159             dmax = (4/9) * max(dint);
160         end
161     end
162
163     if (n > 3) then
164         dmin = min(dint);
165         dmax = max(dint);
166     end
167
168     //Distancias dos pontos de controle da curva 2 a reta
169     //que une os pontos extremos da curva 1:
170     d2 = zeros(1,n+1);
171     for i = 1:(n+1)
172         d2(i) = Dist(XQ(i),YQ(i),a,b,c);
173     end
174
175     //Intersecoes de dmin e dmax com os segmentos do fecho
176     //convexo do poligono de controle da curva 2:

```

```

174     u1 = zeros(1,n+1);
175     u2 = u1;
176
177     //     TIPO 1:
178
179         polinomio = 0;
180
181         for i = 1:n+1
182             U(i) = (i-1)/n
183             polinomio = polinomio + d2(i) * Blog(n,i
184                 -1,0,1);
185         end
186
187         u1 = roots(polinomio - dmin);
188
189         u2 = roots(polinomio - dmax);
190
191         u1 = real(u1);
192         u2 = real(u2);
193
194         r1 = zeros(1,n);
195         r2 = zeros(1,n);
196
197         Ind1 = zeros(1,n+1);
198         Ind2 = zeros(1,n+1);
199
200         for i = 1:n
201             if (u1(i) >= 0 & u1(i) <= 1) then
202                 r1(i) = u1(i);
203                 Ind1(j) = i; j = j+1;
204             end
205             if (u2(i) >= 0 & u2(i) <= 1) then
206                 r2(i) = u2(i);
207                 Ind2(k) = i; k = k+1;
208             end
209         end
210
211         Ind1 = sparse(Ind1);
212         Ind2 = sparse(Ind2);
213
214         [ij_ind1,val_ind1,size_ind1] = spget(Ind1);
215         [ij_ind2,val_ind2,size_ind2] = spget(Ind2);

```

```

216
217     H1 = val_ind1;
218     H2 = val_ind2;
219
220     [l1,c1]=size(H1)
221     [l2,c2]=size(H2)
222
223     //Se H1 ou H2 for nula:
224     if (l1 == 0 | c1 == 0) then
225         H1 = 1 // Pego o primeiro (ou qualquer
                ) indice do vetor u1 que eh zero.
226     end
227
228     if (l2 == 0 | c2 == 0) then
229         H2 = 1 // Pego o primeiro (ou qualquer
                ) indice do vetor u2 que eh zero.
230     end
231
232     // Valores dos parametros umin e umax:
233     umin = min( min(r1(H1)), min(r2(H2)) );
234     umax = max( max(r1(H1)), max(r2(H2)) );
235
236     ////         //FIM TIPO 1
237
238     if (umin == umax) then
239         printf("Iteracoes encerradas. Motivo: Pontos
                extremos iguais\n");
240         t = toc();
241         printf("param_min = %.15g, param_max = %.15g\n",
                umin, umax);
242         printf("Erro de parametro == %.15g\n\n", abs(umin
                - umax));
243         printf("Tempo de execucao: %g segundos\n", t);
244         pause;
245     end
246
247     //Novos pontos de controle:
248     [XQN,YQN] = NovosPontosControleV2(XQ,YQ,umin,umax,n);
249
250 endfunction
251
252

```

```

253 // Bezier Clipping Versao 2 (faz calculo das raizes (t,D(t))
    atraves do poligono de controle das distancias)
254 function[umin,umax,u1,u2,dmin,dmax,H1,H2,XQN,YQN] =
    BezierClippingV2(XP,YP,XQ,YQ,xinicial,xfinal,yinicial,
        yfinal,n)
255
256
257     [a,b,c] = RetaExtremos(xinicial,xfinal,yinicial,yfinal
        );
258
259     if (a == 0 | b == 0) then
260         printf("Distancia proxima de zero!, a == %g\n", a)
261         ;
262         abort;
263     end
264
265     //Distancias dos pontos interiores da curva 1 a reta
    que une seus extremos:
266     dint = zeros(1,n-1);
267
268     for i = 2:n
269         dint(i) = Dist(XP(i), YP(i), a, b, c);
270     end
271
272     //Calculo das distancias dmin e dmax:
273
274     if (n == 3) then
275         if (dint(2) * dint(3) > 0) then
276             dmin = (3/4) * min(dint);
277             dmax = (3/4) * max(dint);
278         end
279         if (dint(2) * dint(3) <= 0) then
280             dmin = (4/9) * min(dint);
281             dmax = (4/9) * max(dint);
282         end
283     end
284
285     if (n > 3) then
286         dmin = min(dint);
287         dmax = max(dint);
288     end

```

```

289 //Distancias dos pontos de controle da curva 2 a reta
      que une os pontos extremos da curva 1:
290 d2 = zeros(1,n+1);
291 for i = 1:(n+1)
292     d2(i) = Dist(XQ(i),YQ(i),a,b,c);
293 end
294
295 //Intersecoes de dmin e dmax com os segmentos do fecho
      convexo do poligono de controle da curva 2:
296
297 u1 = zeros(1,n+1);
298 u2 = u1;
299
300 // TIPO 2
301
302     Ind1 = zeros(1,n+1);
303     Ind2 = zeros(1,n+1);
304
305     j = 1; k = 1;
306
307
308
309 for i = 1:n
310
311     if ((d2(i) <= dmin & d2(i+1) >= dmin) | (d2(i+1)
      <= dmin & d2(i) >= dmin)) then
312         [a,b,c] = RetaExtremos((i-1)/n, i/n, d2(i), d2
      (i+1));
313         u1(i) = (-b * dmin - c)/a;
314                 Ind1(j) = i; j = j+1;
315     end
316
317     if ((d2(i) <= dmax & d2(i+1) >= dmax) | (d2(i+1)
      <= dmax & d2(i) >= dmax)) then
318         [a,b,c] = RetaExtremos((i-1)/n, i/n, d2(i), d2
      (i+1));
319         u2(i) = (-b * dmax - c)/a;
320                 Ind2(k) = i; k = k+1;
321     end
322
323
324 end
325

```

```

326
327     if ((d2(1) <= dmin & d2(n+1) >= dmin) | (d2(n+1) <=
328         dmin & d2(1) >= dmin)) then
329         [a,b,c] = RetaExtremos(0, 1, d2(1), d2(n+1));
330         u1(n+1) = (-b * dmin - c)/a;
331         Ind1(j) = n+1; j = j+1;
332     end
333
334     if ((d2(1) <= dmax & d2(n+1) >= dmax) | (d2(n+1) <=
335         dmax & d2(1) >= dmax)) then
336         [a,b,c] = RetaExtremos(0, 1, d2(1), d2(n+1));
337         u2(n+1) = (-b * dmax - c)/a;
338         Ind2(k) = n+1; k = k+1;
339     end
340
341     r1 = sparse(Ind1);
342     r2 = sparse(Ind2);
343
344     [ij_r1, val_r1, size_r1] = spget(r1);
345     [ij_r2, val_r2, size_r2] = spget(r2);
346
347     H1 = val_r1;
348     H2 = val_r2;
349
350     printf("\n");
351
352     [l1,c1]=size(H1)
353     [l2,c2]=size(H2)
354
355     //Se H1 ou H2 for nula:
356     if (l1 == 0 | c1 == 0) then
357         H1 = 1 // Pego o primeiro (ou qualquer
358             ) indice do vetor u1 que eh zero.
359     end
360
361     if (l2 == 0 | c2 == 0) then
362         H2 = 1 // Pego o primeiro (ou qualquer
363             ) indice do vetor u2 que eh zero.
364     end
365
366     umin = min( min(u1(H1)), min(u2(H2)) );

```

```

365     umax = max( max(u1(H1)), max(u2(H2)) );
366
367     if (umin == umax) then
368         t = toc(); // numero de segundos desde a ultima
369                 chamada a funcao tic()
370         printf("Iteracoes encerradas. Motivo: Pontos
371                 extremos iguais\n");
372         printf("param_min = %.15g, param_max = %.15g\n",
373                 umin, umax);
374         printf("Erro de parametro == %.15g\n\n", abs(umin
375                 - umax));
376         printf("Tempo de execucao: %g segundos\n", t);
377         pause;
378     end
379
380 // FIM TIPO 2
381
382 //Novos pontos de controle:
383 [XQN,YQN] = NovosPontosControleV2(XQ,YQ,umin,umax,n);
384
385 endfunction
386
387 // Funcao para elevar o grau de uma curva de (grau-1) para
388 grau:
389 function [XN, YN] = ElevateDegree(X, Y, grau)
390
391     XN = zeros(grau+1,1);
392     YN = zeros(grau+1,1);
393
394     XN(1) = X(1);
395     YN(1) = Y(1);
396     XN(grau+1) = X(grau);
397     YN(grau+1) = Y(grau);
398
399     for i = 2:grau
400         XN(i) = ((i-1)/(grau))*X(i-1)+(1-(i-1)/(grau))*X(i);
401         YN(i) = ((i-1)/(grau))*Y(i-1)+(1-(i-1)/(grau))*Y(i);
402     end
403
404 endfunction
405
406 function [Intersecao] = VerificaIntersecao(XP, YP, XQ, YQ, n)

```

```

403
404     if(min(XP) >= max(XQ) | min(YP) >= max(YQ) | min(XQ) >=
405         max(XP) | min(YQ) >= max(YP)) then
406         Intersecao = 0;
407     else
408         Intersecao = 1;
409     end
410 endfunction
411
412 // Subdivisao Recursiva: acha os poligonos de controle
413 // relativos as sub-curvas da curva original.
414 function [MPX, MPY, PDX, PDY, PEX, PEY] =
415     SubdivisaoDeCasteljau(X,Y,n)
416
417     MPX = zeros(n+1, n+1);
418     MPY = zeros(n+1, n+1);
419     PDX = zeros(n+1,1);
420     PDY = zeros(n+1,1);
421     PEX = PDX; PEY = PDY;
422
423     k = n+1;
424
425     for i = 1:n+1
426         for j = 1:n+1
427             if (i == 1) then
428                 MPX(i,j) = X(j);
429                 MPY(i,j) = Y(j);
430             else
431                 if (j <= k) then
432                     MPX(i,j) = (1/2)*(MPX(i-1,j) + MPX(i-1,j
433                         +1));
434                     MPY(i,j) = (1/2)*(MPY(i-1,j) + MPY(i-1,j
435                         +1));
436                 end
437             end
438             k = k-1;
439         end
440     end
441
442     m = n+1;
443     // Sub-curvas de P(t):

```

```

441     for k = 1:n+1
442         PDX(k) = MPX(k,1);
443         PDY(k) = MPY(k,1);
444         PEX(k) = MPX(m,k);
445         PEY(k) = MPY(m,k);
446         m = m-1;
447     end
448
449 endfunction
450
451 // Subdivisao Intervalar: acha as "Bounding Boxes" relativas
452 // as sub-curvas da curva original:
453 function [P1X, P1Y, P2X, P2Y] = SubdivisaoKoparkarMudur (POX,
454     POY, PX, PY, n, media)
455
456     P1X = zeros(4,1);
457     P2X = zeros(4,1);
458     P1Y = zeros(4,1);
459     P2Y = zeros(4,1);
460
461     P1X(1) = PX(1); P1Y(1) = PY(1);
462     P2X(4) = PX(n+1); P2Y(4) = PY(n+1);
463
464     for i = 1:n+1
465         P1X(4) = P1X(4) + B(n,i-1,media,0,1) * POX(i);
466         P1Y(4) = P1Y(4) + B(n,i-1,media,0,1) * POY(i);
467     end
468
469     P1X(2) = P1X(1);
470     P1X(3) = P1X(4);
471     P1Y(2) = P1Y(4);
472     P1Y(3) = P1Y(1);
473
474     P2X(1) = P1X(4);
475     P2X(2) = P2X(1);
476     P2X(3) = P2X(4);
477
478     P2Y(1) = P1Y(4);
479     P2Y(2) = P2Y(4);
480     P2Y(3) = P2Y(1);
481 endfunction

```

```

482
483 // Funcao recursiva que acha os novos poligonos de controle e
      verifica as intersecoes a cada iteracao:
484 function [P1X,P1Y,P2X,P2Y,Q1X,Q1Y,Q2X,Q2Y,t_meio,u_meio,XPInt,
      YPInt,XQInt,YQInt] = IntersecaoSR(PX,PY,t0,t1,depth_p,QX,QY
      ,u0,u1,depth_q,n,SolAn)
485
486     printf("depth_p == %g\n", depth_p);
487     printf("depth_q == %g\n\n", depth_q);
488
489     while(depth_p > 0 | depth_q > 0)
490
491         [MPX, MPY, P1X, P1Y, P2X, P2Y] = SubdivisaoDeCasteljau
            (PX,PY,n);
492
493         printf("Extremos da Sub-curva P1:\n");
494         printf("(%.7g,%.7g);(%.7g,%.7g)\n\n", P1X(1), P1Y(1),
            P1X(n+1), P1Y(n+1));
495
496         printf("Extremos da Sub-curva P2:\n");
497         printf("(%.7g,%.7g);(%.7g,%.7g)\n\n", P2X(1), P2Y(1),
            P2X(n+1), P2Y(n+1));
498
499         printf("Erro absoluto P1 == %.7g\n", max(abs(P1X(1)-
            SolAn(1)), abs(P1X(n+1)-SolAn(1)), abs(P1Y(1)-SolAn
            (2)), abs(P1Y(n+1)-SolAn(2))));
500         printf("Erro absoluto P2 == %.7g\n\n", max(abs(P2X(1)-
            SolAn(1)), abs(P2X(n+1)-SolAn(1)), abs(P2Y(1)-SolAn
            (2)), abs(P2Y(n+1)-SolAn(2))));
501
502         depth_p = depth_p - 1;
503         t_meio = (1/2)*(t0 + t1);
504
505         [MQX, MQY, Q1X, Q1Y, Q2X, Q2Y] = SubdivisaoDeCasteljau
            (QX,QY,n);
506
507         printf("Extremos da Sub-curva Q1:\n");
508         printf("(%.7g,%.7g);(%.7g,%.7g)\n\n", Q1X(1), Q1Y(1),
            Q1X(n+1), Q1Y(n+1));
509
510         printf("Extremos da Sub-curva Q2:\n");
511         printf("(%.7g,%.7g);(%.7g,%.7g)\n\n", Q2X(1), Q2Y(1),
            Q2X(n+1), Q2Y(n+1));

```

```

512
513     printf("Erro absoluto Q1 == %.7g\n", max(abs(Q1X(1)-
        SolAn(1)), abs(Q1X(n+1)-SolAn(1)), abs(Q1Y(1)-SolAn
        (2)), abs(Q1Y(n+1)-SolAn(2))));
514     printf("Erro absoluto Q2 == %.7g\n\n", max(abs(Q2X(1)-
        SolAn(1)), abs(Q2X(n+1)-SolAn(1)), abs(Q2Y(1)-SolAn
        (2)), abs(Q2Y(n+1)-SolAn(2))));

515
516     depth_q = depth_q - 1;
517     u_meio = (1/2)*(u0 + u1);
518
519     if ((depth_p == 0) & (depth_q == 0)) then
520         t = toc(); // numero de segundos desde a ultima
            chamada a funcao tic()
521         printf("Tempo de execucao: %g segundos\n", t);
522         pause;
523     end

524
525     [Intersecao] = VerificaIntersecao(P1X, P1Y, Q1X, Q1Y,n
        );
526     if (Intersecao <> 0) then
527         XPInt = P1X;
528         YPInt = P1Y;
529         XQInt = Q1X;
530         YQInt = Q1Y;
531         printf("P1, Q1 se interceptam\n\n");
532         IntersecaoSR(P1X,P1Y,t0,t_meio,depth_p,Q1X,Q1Y,u0,
            u_meio,depth_q,n,SolAn);
533     end

534
535     [Intersecao] = VerificaIntersecao(P2X, P2Y, Q1X, Q1Y,n
        );
536     if (Intersecao <> 0) then
537         XPInt = P2X;
538         YPInt = P2Y;
539         XQInt = Q1X;
540         YQInt = Q1Y;
541         printf("P2, Q1 se interceptam\n\n");
542         IntersecaoSR(P2X,P2Y,t_meio,t1,depth_p,Q1X,Q1Y,u0,
            u_meio,depth_q,n,SolAn);
543     end
544

```

```

545     [Intersecao] = VerificaIntersecao(P1X, P1Y, Q2X, Q2Y,n
    );
546     if (Intersecao <> 0) then
547         XPInt = P1X;
548         YPInt = P1Y;
549         XQInt = Q2X;
550         YQInt = Q2Y;
551         printf("P1, Q2 se interceptam\n\n");
552         IntersecaoSR(P1X,P1Y,t0,t_meio,depth_p,Q2X,Q2Y,
            u_meio,u1,depth_q,n,SolAn);
553     end
554
555     [Intersecao] = VerificaIntersecao(P2X, P2Y, Q2X, Q2Y,n
    );
556     if (Intersecao <> 0) then
557         XPInt = P2X;
558         YPInt = P2Y;
559         XQInt = Q2X;
560         YQInt = Q2Y;
561         printf("P2, Q2 se interceptam\n\n");
562         IntersecaoSR(P2X,P2Y,t_meio,t1,depth_p,Q2X,Q2Y,
            u_meio,u1,depth_q,n,SolAn);
563     end
564
565     end
566
567 endfunction
568
569
570 // Funcao recursiva que acha novas "Bounding Boxes" e verifica
    as intersecoes a cada iteracao:
571 function [P1X,P1Y,P2X,P2Y,Q1X,Q1Y,Q2X,Q2Y,t_meio,u_meio,XPInt,
    YPInt,XQInt,YQInt] = IntersecaoSI(POX, POY, QOX, QOY, PX,PY
    ,t0,t1,depth_p,QX,QY,u0,u1,depth_q,n,SolAn)
572
573     m = 3;
574
575     if (n <> m) then
576         [Intersecao] = VerificaIntersecao(PX, PY, QX, QY,n);
577         n = m;
578     else
579         [Intersecao] = VerificaIntersecao(PX, PY, QX, QY,m);
580     end

```

```

581
582
583 printf("depth_p == %g\n", depth_p);
584 printf("depth_q == %g\n\n", depth_q);
585
586 while(depth_p > 0 | depth_q > 0)
587
588     t_meio = (1/2)*(t0 + t1);
589     [P1X, P1Y, P2X, P2Y] = SubdivisaoKoparkarMudur (POX,
590         POY, PX, PY, n, t_meio);
591
592     printf("Sub-curva P1:\n");
593     printf("(%.7g,%.7g);(%.7g,%.7g)\n\n", P1X(1), P1Y(1),
594         P1X(n+1), P1Y(n+1));
595     printf("Sub-curva P2:\n");
596     printf("(%.7g,%.7g);(%.7g,%.7g)\n\n", P2X(1), P2Y(1),
597         P2X(n+1), P2Y(n+1));
598
599     printf("Erro absoluto P1 == %.7g\n", max(abs(P1X(1)-
600         SolAn(1)), abs(P1X(n+1)-SolAn(1)), abs(P1Y(1)-SolAn
601         (2)), abs(P1Y(n+1)-SolAn(2))));
602     printf("Erro absoluto P2 == %.7g\n\n", max(abs(P2X(1)-
603         SolAn(1)), abs(P2X(n+1)-SolAn(1)), abs(P2Y(1)-SolAn
604         (2)), abs(P2Y(n+1)-SolAn(2))));
605
606     depth_p = depth_p - 1;
607
608     u_meio = (1/2)*(u0 + u1);
609     [Q1X, Q1Y, Q2X, Q2Y] = SubdivisaoKoparkarMudur (QOX,
610         QOY, QX, QY, n, u_meio);
611
612     printf("Sub-curva Q1:\n");
613     printf("(%.7g,%.7g);(%.7g,%.7g)\n\n", Q1X(1), Q1Y(1),
614         Q1X(n+1), Q1Y(n+1));
615
616     printf("Sub-curva Q2:\n");
617     printf("(%.7g,%.7g);(%.7g,%.7g)\n\n", Q2X(1), Q2Y(1),
618         Q2X(n+1), Q2Y(n+1));
619
620     printf("Erro absoluto Q1 == %.7g\n", max(abs(Q1X(1)-
621         SolAn(1)), abs(Q1X(n+1)-SolAn(1)), abs(Q1Y(1)-SolAn

```

```

        (2)), abs(Q1Y(n+1)-SolAn(2)))));
613 printf("Erro absoluto Q2 == %.7g\n\n", max(abs(Q2X(1)-
        SolAn(1)), abs(Q2X(n+1)-SolAn(1)), abs(Q2Y(1)-SolAn
        (2)), abs(Q2Y(n+1)-SolAn(2))));
614
615 depth_q = depth_q - 1;
616
617 if (depth_p == 0 & depth_q == 0) then
618     t = toc(); // numero de segundos desde a ultima
        chamada a funcao tic()
619     printf("Tempo de execucao: %g segundos\n", t)
620     pause;
621 end
622
623 [Intersecao] = VerificaIntersecao(P1X, P1Y, Q1X, Q1Y,m
624 );
625 if (Intersecao <> 0) then
626     XPInt = P1X;
627     YPInt = P1Y;
628     XQInt = Q1X;
629     YQInt = Q1Y;
630     printf("P1, Q1 se interceptam\n\n");
631     IntersecaoSI(POX, POY, QOX, QOY,P1X,P1Y,t0,t_meio,
        depth_p,Q1X,Q1Y,u0,u_meio,depth_q,n,SolAn);
632 end
633
634 [Intersecao] = VerificaIntersecao(P2X, P2Y, Q1X, Q1Y,m
635 );
636 if (Intersecao <> 0) then
637     XPInt = P2X;
638     YPInt = P2Y;
639     XQInt = Q1X;
640     YQInt = Q1Y;
641     printf("P2, Q1 se interceptam\n\n");
642     IntersecaoSI(POX, POY, QOX, QOY,P2X,P2Y,t_meio,t1,
        depth_p,Q1X,Q1Y,u0,u_meio,depth_q,n,SolAn);
643 end
644
645 [Intersecao] = VerificaIntersecao(P1X, P1Y, Q2X, Q2Y,m
646 );
647 if (Intersecao <> 0) then
        XPInt = P1X;

```

```
647         YPInt = P1Y;
648         XQInt = Q2X;
649         YQInt = Q2Y;
650         printf("P1, Q2 se interceptam\n\n");
651         IntersecaoSI(POX, POY, QOX, QOY,P1X,P1Y,t0,t_meio,
            depth_p,Q2X,Q2Y,u_meio,u1,depth_q,n,SolAn);
652     end
653
654     [Intersecao] = VerificaIntersecao(P2X, P2Y, Q2X, Q2Y,m
        );
655     if (Intersecao <> 0) then
656         XPInt = P2X;
657         YPInt = P2Y;
658         XQInt = Q2X;
659         YQInt = Q2Y;
660         printf("P2, Q2 se interceptam\n\n");
661         IntersecaoSI(POX, POY, QOX, QOY,P2X,P2Y,t_meio,t1,
            depth_p,Q2X,Q2Y,u_meio,u1,depth_q,n,SolAn);
662     end
663
664     end
665
666 endfunction
```

## APÊNDICE B

CÓDIGO FONTE: **BezierClipping.sce**.

```
1
2
3
4 clear;
5
6 clc;
7
8 tic(); //comeca a contagem de tempo de execucao do programa
9
10 exec ('BibliotecaFuncoesBezier.sce');
11
12 format('v',25);
13
14 n = 9;
15
16 flagCurva = 1;
17
18 tol = 10^-10;
19
20 numiter = 0;
21
22 tmin = 0; tmax = 1;
23 umin = 0; umax = 1;
24
25 // Extremos do intervalo do exemplo 1 (mudar estas variaveis
    para outros exemplos):
26 xinicial = 2;
27 xfinal = 4;
28
29
30 // Usando interpolacao de Bezier:
31
32 M = zeros(n+1, n+1);
33
34 for i = 1:(n+1)
```

```

35     for j = 1:(n+1)
36         M(i,j) = B(n, j-1, (i-1)/n, 0, 1);
37     end
38 end
39
40 function [f] = f(x,y)
41     f = x^2 - 4*x + 4*y^2; //elipse - Exemplo 1;
42 //     f = x^2 + 4*y^2 - 4; //circunferencia - Exemplo 2;
43 //     f = exp(x-1) - y - 1; //Exemplo 4
44 endfunction
45
46 function [g] = g(x,y)
47     g = x^2 - 8*x + y^2 + 12; //circunferencia - Exemplo 1;
48 //     g = x^15 + 3*x^10*y^2 + 3*x^5*y^4 + y^6 - 1; //Exemplo
49 //     g = x - y - 1; //Exemplo 4;
50 endfunction
51
52 // Para uso da Alternativa 2, com Interpolacao via curvas de
53 // Bezier:
54 VX1 = zeros(n+1,1);
55 VX2 = VX1;
56 VY1 = VX1;
57 VY2 = VX1;
58 X1 = VX1;
59 X2 = VX2;
60 Y1 = VY1;
61 Y2 = VY2;
62
63 for i = 1:(n+1)
64     VX1(i) = xinicial + (xfinal - xinicial) * (i-1)/n;
65     VX2(i) = VX1(i);
66     Tf = roots(f(VX1(i),%s));
67     Tg = roots(g(VX2(i),%s));
68     [lf,cf] = size(Tf);
69     [lg,cg] = size(Tg);
70     for k = 1:lf //grau de f,g
71         if real(Tf(k)) >= 0 then
72             VY1(i) = Tf(k);
73         end
74     end
75     for k = 1:lg
76         if real(Tg(k)) >= 0 then

```

```
76         VY2(i) = Tg(k);
77     end
78     end
79 end
80
81 // Pontos de controle:
82
83 X1 = inv(M)*VX1;
84 Y1 = inv(M)*VY1;
85
86 X2 = inv(M)*VX2;
87 Y2 = inv(M)*VY2;
88
89
90 X1 = real(X1);
91 Y1 = real(Y1);
92
93 X2 = real(X2);
94 Y2 = real(Y2);
95
96
97 // Pontos adquiridos com parametrizacao:
98
99 //Exemplo 1:
100
101 //elipse: (intervalo [2,4])
102 //X2 = [2 3.2189515 3.8856181 4];
103 //Y2 = [1 0.9428091 0.6094757 0];
104 //
105 ////circunferencia:
106 //X1 = [2 2.1143819 2.7810485 4];
107 //Y1 = [0 1.2189515 1.8856181 2];
108
109 // Exemplo 2:
110
111 //X1 = [-0.5 -0.1722284 -0.0055617 0];
112 //Y1 = [1.3228756 0.9428089 0.5018504 0];
113 //
114 //X2 = [-0.5 -0.3333332 -0.1666668 0.];
115 //Y2 = [1.0155048 0.9931494 1.0022779 1.];
116
117 // Exemplo 3:
118 //X1 = [0 0.2617994 0.5235988 0.7853982]; //sen(x)
```

```

119 //Y1 = [0 0.2745423 0.5102445 0.7071068];
120 //
121 //X2 = [0 0.2617994 0.5235988 0.7853982]; //exp(-x)
122 //Y2 = [1 0.7483298 0.5669758 0.4559381];
123
124
125
126 //Grau para o qual se deseja elevar a curva:
127 m = 9;
128
129 while (n <> m)
130     [XN1, YN1]= ElevateDegree(X1, Y1, n+1);
131     [XN2, YN2]= ElevateDegree(X2, Y2, n+1);
132     X1 = XN1;
133     X2 = XN2;
134     Y1 = YN1;
135     Y2 = YN2;
136     n = n+1;
137 end
138
139 // Guardo os pontos de controle originais:
140 XA = X1;
141 YA = Y1;
142 XB = X2;
143 YB = Y2;
144
145
146 //while ( (abs(tmax - tmin) > tol | abs(umin - umax) > tol) )
147     //& numiter < 10 )
148
149 //Solucoes analiticas:
150
151 //Exemplo 1:
152 SolAn = [2.2629657 0.9913184]; //Elipse, circunferencia
153
154 //Exemplo 2:
155 //SolAn = [-0.2683510 1.0006956];
156
157 //Exemplo 3:
158 //SolAn = [0.58853 0.55514]; //sin(x), exp(-x)
159
160 //Exemplo 4:
161 //SolAn = [1 0];

```

```
161
162 // Define titulo para a janela do grafico:
163 //xtitle("Exemplo 4 - Bezier Grau 9 - Alternativa 2");
164
165 ////Exemplo 1 - Grafico:
166
167 //ellipse:
168 teta1 = 0:1/100:%pi/2;
169 x1 = 2 + 2*cos(teta1);
170 y1 = sin(teta1);
171
172 plot(x1,y1,'+');
173
174 //circunferencia:
175
176 teta2 = %pi/2:1/100:%pi;
177 x2 = 4 + 2*cos(teta2);
178 y2 = 2*sin(teta2);
179
180 plot(x2,y2,'r--');
181
182
183 ////Exemplo 2 - Grafico:
184
185 //teta = 0:1/100:0.7227342;
186 //x1 = 2*cos(teta) - 2;
187 //y1 = 2*sin(teta);
188 //
189 //plot(x1,y1,'+');
190 //
191 //xinicial = -0.5;
192 //xfinal = 0;
193 //
194 //x2 = xinicial:1/100:xfinal;
195 //[lx2,cx2] = size(x2);
196 //y2 = zeros(1,cx2);
197 ////y2 = exp(x2 - 1) - 1;
198 //for k = 1:cx2
199 //    Tg2 = roots(g(x2(k),%s));
200 //    [lg2,cg2] = size(Tg2);
201 //    for l = 1:lg2 //grau de g
202 //        if (real(Tg2(l)) >= 1) then
203 //            y2(k) = Tg2(l);
```

```
204 //      end
205 //      end
206 //end
207
208 //plot(x2,y2,'r--');
209
210
211 ////Exemplo 3 - Grafico:
212
213 ////sin(x), exp(-x):
214
215 //xinicial = 0;
216 //xfinal = %pi/4;
217 //
218 //x1 = xinicial:(xfinal-xinicial)/100:xfinal;
219 //x2 = x1;
220 //
221 //y1 = sin(x1);
222 //y2 = exp(-x2);
223 //
224 //
225 //plot(x1,y1,'+');
226 //plot(x2,y2,'r--');
227
228
229 ////Exemplo 4 - Grafico:
230
231 //xinicial = 1;
232 //xfinal = 2;
233 //
234 //x1 = xinicial:1/100:xfinal;
235 //y1 = exp(x1-1) - 1
236 //
237 //plot(x1,y1,'+');
238 //
239 //x2 = x1;
240 //y2 = x2 - 1;
241 //
242 //plot(x2,y2,'r--');
243
244
245
246
```

```

247 k = 100;
248
249 t = xinicial;
250
251 X1G = zeros(1,k+1);
252 Y1G = zeros(1,k+1);
253 X2G = zeros(1,k+1);
254 Y2G = zeros(1,k+1);
255 //
256 for i = 1:(k+1)
257     for j = 1:(n+1)
258         t = xinicial + (i-1)*((xfinal-xinicial)/k);
259         X1G(i) = X1G(i) + X1(j)*B(n, j-1, t, xinicial, xfinal)
260             ;
261         Y1G(i) = Y1G(i) + Y1(j)*B(n, j-1, t, xinicial, xfinal)
262             ;
263         X2G(i) = X2G(i) + X2(j)*B(n, j-1, t, xinicial, xfinal)
264             ;
265         Y2G(i) = Y2G(i) + Y2(j)*B(n, j-1, t, xinicial, xfinal)
266             ;
267     end
268 end
269
270 plot(X1G,Y1G,'g');
271 plot(X2G,Y2G,'m');
272
273
274 legend(['f(x,y)'; 'g(x,y)'; 'P(t)'; 'Q(u)'],1);
275
276
277
278
279 //numiter = input("Numero de iteracoes: ");
280
281 numiter = 10;
282
283 iter = 0;
284
285 while(iter < numiter)

```

```

286
287     iter = iter + 1;
288
289     printf("Iteracao %g:\n", iter);
290
291     printf("Pontos Minimo e Maximo da Curva 2:\n\n");
292     printf("tmin = %.15g, tmax = %.15g\n", tmin, tmax);
293     printf("Erro de parametro == %.15g\n\n", abs(tmin - tmax))
294     ;
295     [umin,umax,u1,u2,dmin1,dmax1,H1,H2,X2N,Y2N] =
        BezierClippingV2(X1,Y1,X2,Y2,xi1,xf1,yi1,yf1,n)
296 //     [umin,umax,u1,u2,dmin1,dmax1,H1,H2,X2N,Y2N] =
        BezierClippingV1(X1,Y1,X2,Y2,xi1,xf1,yi1,yf1,n)
297
298     xi2 = X2N(1); yi2 = Y2N(1); xf2 = X2N(n+1); yf2 = Y2N(
        n+1);
299
300     printf("umin = %g, umax = %.15g\n\n", umin, umax);
301     printf("Pontos Min e Max:\n\n");
302     printf("(xi,yi) = (%.15g,%.15g)\n",xi2,yi2);
303     printf("(xf,yf) = (%.15g,%.15g)\n",xf2,yf2);
304     printf("Erro absoluto == %.15g\n\n", max(abs(xi2 - SolAn
        (1)),abs(yi2 - SolAn(2)),abs(xf2 - SolAn(1)),abs(yf2 -
        SolAn(2))));
305
306     X2 = X2N;
307     Y2 = Y2N;
308
309
310     printf("Pontos Minimo e Maximo da Curva 1:\n\n");
311     printf("umin = %.15g, umax = %.15g\n", umin, umax);
312     printf("Erro de parametro == %.15g\n\n", abs(umin - umax))
313     ;
314     [tmin,tmax,t1,t2,dmin2,dmax2,H1,H2,X1N,Y1N] =
        BezierClippingV2(X2,Y2,X1,Y1,xi2,xf2,yi2,yf2,n)
315 //     [tmin,tmax,t1,t2,dmin2,dmax2,H1,H2,X1N,Y1N] =
        BezierClippingV1(X2,Y2,X1,Y1,xi2,xf2,yi2,yf2,n)
316
317     xi1 = X1N(1); yi1 = Y1N(1); xf1 = X1N(n+1); yf1 = Y1N(
        n+1);
318
319     printf("tmin = %g, tmax = %.15g\n\n", tmin, tmax);

```

```
319     printf("Pontos Min e Max:\n\n");
320     printf("(xi,yi) = (%.15g,%.15g)\n", xi1, yi1);
321     printf("(xf,yf) = (%.15g,%.15g)\n", xf1, yf1);
322     printf("Erro absoluto == %.15g\n\n", max(abs(xi1 - SolAn(1)
        ),abs(yi1 - SolAn(2)),abs(xf1 - SolAn(1)),abs(yf1 -
        SolAn(2))));
323
324         X1 = X1N;
325         Y1 = Y1N;
326
327     end
328
329     t = toc(); // numero de segundos desde a ultima chamada a
        funcao tic()
330     printf("Tempo de execucao: %g segundos\n", t);
```

## APÊNDICE C

CÓDIGO FONTE: **BézierSubdivisaoRecursivaCasteljau.sce**

```
1
2 clear;
3
4 clc;
5
6 tic(); //comeca a contagem de tempo de execucao do programa
7
8 exec ('BibliotecaFuncoesBezier.sce');
9
10 // Extremos do intervalo do Exemplo 1:
11 xinicial = 2;
12 xfinal = 4;
13
14 n = 9;
15
16 flagCurva = 1;
17
18 tol = 10^-5;
19
20 numiter = 0;
21
22 //// Exemplo 1 - Grau 3:
23 //
24 ////elipse: (intervalo [2,4])
25 //PX = [2 3.2189515 3.8856181 4];
26 //PY = [1 0.9428091 0.6094757 0];
27 //
28 ////circunferencia:
29 //QX = [2 2.1143819 2.7810485 4];
30 //QY = [0 1.2189515 1.8856181 2];
31 //
32 //
33 ////Exemplo 2 - Grau 3:
34 //
35 //PX = [-0.5 -0.1722284 -0.0055617 0];
```

```

36 //PY = [1.3228756 0.9428089 0.5018504 0];
37 //
38 //QX = [-0.5 -0.3333332 -0.1666668 0.];
39 //QY = [1.0155048 0.9931494 1.0022779 1.];
40 //
41 //// Exemplo 3 - Grau 3:
42 //
43 //PX = [0 0.2617994 0.5235988 0.7853982]; //sen(x)
44 //PY = [0 0.2745423 0.5102445 0.7071068];
45 //
46 //QX = [0 0.2617994 0.5235988 0.7853982]; //exp(-x)
47 //QY = [1 0.7483298 0.5669758 0.4559381];
48 //
49
50
51 //Grau 9:
52
53 // Exemplo 1:
54
55 //ellipse:
56 PX = [2.
57     2.2222222222221716947388
58     2.44444444444445743158667
59     2.66666666666665364004984
60     2.88888888888892125805796
61     3.1111111111110872684549
62     3.3333333333333996506553
63     3.5555555555554860802658
64     3.7777777777777750145560
65     4.];
66
67 PY = [1.
68     0.9815233367994240509802
69     1.0622518068536983548711
70     0.7713425854991458052723
71     1.2489972781511422539324
72     0.3946336381663453352076
73     1.2881787186580666570990
74     0.2043762382060556603847
75     0.8701008088856934108435
76     0.];
77
78 //circunferencia:

```

```

79
80 QX = [2.
81     2.2222222222221716947388
82     2.44444444444445743158667
83     2.6666666666665364004984
84     2.8888888888892125805796
85     3.1111111111110872684549
86     3.3333333333333996506553
87     3.5555555555554860802658
88     3.777777777777750145560
89     4.];
90
91 QY = [0.
92     1.7402016177713544031747
93     0.4087524764122016929235
94     2.5763574373159916497400
95     0.7892672763330343954635
96     2.4979945563019052556797
97     1.5426851709985163196848
98     2.1245036137072483839461
99     1.9630466735988720827777
100    2.0000000000000004440892];
101
102
103 // Exemplo 4:
104 //PX = [1.
105 //     1.1111111111110858473694
106 //     1.2222222222222871579334
107 //     1.3333333333332682002492
108 //     1.44444444444446062902898
109 //     1.5555555555554363422743
110 //     1.6666666666666998253277
111 //     1.7777777777777430401329
112 //     1.8888888888888875072780
113 //     2.];
114 //
115 //PY = [0.
116 //     0.1111111111565113718225
117 //     0.2361111109139252262068
118 //     0.3769841275188501317217
119 //     0.5360449724078226729773
120 //     0.7160052931575320300794
121 //     0.9200562127689542180065

```

```
122 //      1.1519731139785545082077
123 //      1.4162505142355308329627
124 //      1.7182818284590450907956];
125 //
126 //
127 //QX = [1.
128 //      1.11111111111110858473694
129 //      1.2222222222222871579334
130 //      1.3333333333332682002492
131 //      1.44444444444446062902898
132 //      1.5555555555554363422743
133 //      1.6666666666666998253277
134 //      1.7777777777777430401329
135 //      1.8888888888888875072780
136 //      2.];
137 //
138 //QY = [0.
139 //      0.1111111111111063864954
140 //      0.2222222222222427490124
141 //      0.3333333333332966219587
142 //      0.44444444444444783925974
143 //      0.5555555555555322655437
144 //      0.6666666666666571927635
145 //      0.7777777777777608037013
146 //      0.8888888888888901718133
147 //      1.];
148 //
149
150 tmin = 0; tmax = 1;
151 umin = 0; umax = 1;
152
153
154 depth_p = input("Escolha o numero de iteracoes: ");
155 printf("\n\n");
156
157 depth_q = depth_p;
158
159 // Exemplo 1:
160 SolAn = [2.2629657 0.9913184];
161
162 // Exemplo 4:
163 //SolAn = [1 0];
164
```

```
165     printf("Erro absoluto P == %.7g\n", max(abs(PX(1)-
        SolAn(1)), abs(PX(n+1)-SolAn(1)), abs(PY(1)-SolAn
        (2)), abs(PY(n+1)-SolAn(2))));
166
167     printf("Erro absoluto Q == %.7g\n\n", max(abs(QX(1)-
        SolAn(1)), abs(QX(n+1)-SolAn(1)), abs(QY(1)-SolAn
        (2)), abs(QY(n+1)-SolAn(2))));
168
169 // Curva Original:
170 POX = PX;
171 POY = PY;
172 QOX = QX;
173 QOY = QY;
174
175 [Intersecao] = VerificaIntersecao(PX, PY, QX, QY, n);
176
177 if (Intersecao == 1) then
178
179     [P1X,P1Y,P2X,P2Y,Q1X,Q1Y,Q2X,Q2Y,t_meio,u_meio,XPInt,YPInt
        ,XQInt,YQInt] = IntersecaoSR(PX,PY,tmin,tmax,depth_p,QX
        ,QY,umin,umax,depth_q,n,SolAn);
180 else
181     printf("As curvas nao se interceptam!!!\n");
182 end
```

## APÊNDICE D

CÓDIGO FONTE: **BezierSubdivisaoIntervalar.sce**

```
1
2 clear;
3
4 clc;
5
6 tic(); //comeca a contagem de tempo de execucao do programa
7
8 exec ('BibliotecaFuncoesBezier.sce');
9
10 // Extremos do intervalo do Exemplo 1:
11 xinicial = 2;
12 xfinal = 4;
13
14 n = 9;
15
16 flagCurva = 1;
17
18 tol = 10^-5;
19
20 numiter = 0;
21
22 //// Exemplo 1 - Grau 3:
23 //
24 ////elipse: (intervalo [2,4])
25 //PX = [2 3.2189515 3.8856181 4];
26 //PY = [1 0.9428091 0.6094757 0];
27 //
28 ////circunferencia:
29 //QX = [2 2.1143819 2.7810485 4];
30 //QY = [0 1.2189515 1.8856181 2];
31 //
32 //
33 ////Exemplo 2 - Grau 3:
34 //
35 //PX = [-0.5 -0.1722284 -0.0055617 0];
```

```

36 //PY = [1.3228756 0.9428089 0.5018504 0];
37 //
38 //QX = [-0.5 -0.3333332 -0.1666668 0.];
39 //QY = [1.0155048 0.9931494 1.0022779 1.];
40 //
41 //// Exemplo 3 - Grau 3:
42 //
43 //PX = [0 0.2617994 0.5235988 0.7853982]; //sen(x)
44 //PY = [0 0.2745423 0.5102445 0.7071068];
45 //
46 //QX = [0 0.2617994 0.5235988 0.7853982]; //exp(-x)
47 //QY = [1 0.7483298 0.5669758 0.4559381];
48 //
49
50
51 //Grau 9:
52
53 // Exemplo 1:
54
55 //ellipse:
56 PX = [2.
57     2.2222222222221716947388
58     2.44444444444445743158667
59     2.66666666666665364004984
60     2.88888888888892125805796
61     3.1111111111110872684549
62     3.3333333333333996506553
63     3.5555555555554860802658
64     3.7777777777777750145560
65     4.];
66
67 PY = [1.
68     0.9815233367994240509802
69     1.0622518068536983548711
70     0.7713425854991458052723
71     1.2489972781511422539324
72     0.3946336381663453352076
73     1.2881787186580666570990
74     0.2043762382060556603847
75     0.8701008088856934108435
76     0.];
77
78 //circunferencia:

```

```

79
80 QX = [2.
81     2.2222222222221716947388
82     2.44444444444445743158667
83     2.6666666666665364004984
84     2.8888888888892125805796
85     3.1111111111110872684549
86     3.3333333333333996506553
87     3.5555555555554860802658
88     3.777777777777750145560
89     4.];
90
91 QY = [0.
92     1.7402016177713544031747
93     0.4087524764122016929235
94     2.5763574373159916497400
95     0.7892672763330343954635
96     2.4979945563019052556797
97     1.5426851709985163196848
98     2.1245036137072483839461
99     1.9630466735988720827777
100    2.0000000000000004440892];
101
102
103 // Exemplo 4:
104 //PX = [1.
105 //     1.1111111111110858473694
106 //     1.2222222222222871579334
107 //     1.3333333333332682002492
108 //     1.44444444444446062902898
109 //     1.5555555555554363422743
110 //     1.666666666666998253277
111 //     1.7777777777777430401329
112 //     1.8888888888888875072780
113 //     2.];
114 //
115 //PY = [0.
116 //     0.1111111111565113718225
117 //     0.2361111109139252262068
118 //     0.3769841275188501317217
119 //     0.5360449724078226729773
120 //     0.7160052931575320300794
121 //     0.9200562127689542180065

```

```
122 //      1.1519731139785545082077
123 //      1.4162505142355308329627
124 //      1.7182818284590450907956];
125 //
126 //
127 //QX = [1.
128 //      1.11111111111110858473694
129 //      1.2222222222222871579334
130 //      1.3333333333332682002492
131 //      1.44444444444446062902898
132 //      1.5555555555554363422743
133 //      1.666666666666698253277
134 //      1.7777777777777430401329
135 //      1.8888888888888875072780
136 //      2.];
137 //
138 //QY = [0.
139 //      0.1111111111111063864954
140 //      0.2222222222222427490124
141 //      0.3333333333332966219587
142 //      0.44444444444444783925974
143 //      0.5555555555555322655437
144 //      0.6666666666666571927635
145 //      0.7777777777777608037013
146 //      0.8888888888888901718133
147 //      1.];
148 //
149
150 tmin = 0; tmax = 1;
151 umin = 0; umax = 1;
152
153
154 depth_p = input("Escolha o numero de iteracoes: ");
155 printf("\n\n");
156
157 depth_q = depth_p;
158
159 // Exemplo 1:
160 SolAn = [2.2629657 0.9913184];
161
162 // Exemplo 4:
163 //SolAn = [1 0];
164
```

```
165     printf("Erro absoluto P == %.7g\n", max(abs(PX(1)-
        SolAn(1)), abs(PX(n+1)-SolAn(1)), abs(PY(1)-SolAn
        (2)), abs(PY(n+1)-SolAn(2))));
166
167     printf("Erro absoluto Q == %.7g\n\n", max(abs(QX(1)-
        SolAn(1)), abs(QX(n+1)-SolAn(1)), abs(QY(1)-SolAn
        (2)), abs(QY(n+1)-SolAn(2))));
168
169
170 // Curva Original:
171 POX = PX;
172 POY = PY;
173 QOX = QX;
174 QOY = QY;
175
176 [Intersecao] = VerificaIntersecao(PX, PY, QX, QY, n);
177
178 if (Intersecao == 1) then
179     [P1X,P1Y,P2X,P2Y,Q1X,Q1Y,Q2X,Q2Y,t_meio,u_meio,XPInt,YPInt
        ,XQInt,YQInt] = IntersecaoSI(POX, POY, QOX, QOY, PX,PY,
        tmin,tmax,depth_p,QX,QY,umin,umax,depth_q,n,SolAn);
180 else
181     printf("As curvas nao se interceptam!!!\n");
182 end
```